

**Hochschule Worms**  
**Fachbereich Informatik**  
**Studiengang Angewandte Informatik B.Sc.**

**Implementierung von einem OpenSource Log-Analyse-Tool**  
**zur Erkennung von Cyberangriffe**

Abschlussarbeit zur Erlangung des akademischen Grades  
Bachelor of Science

Bruno Macedo da Silva  
676839  
inf3645@hs-worms.de  
Bebelstraße 22 Z10  
67549 Worms

|                       |                           |
|-----------------------|---------------------------|
| Betreuer              | Prof. Dr. Zdravko Bozakov |
| Bearbeitungszeitraum: | Sommersemester 2023       |
| Abgabedatum:          | xx. xxx 2023              |
| Sperrvermerk:         | Ja/Nein                   |

# Inhaltsverzeichnis

|  |             |
|--|-------------|
| <b>Abstract</b>  | <b>iv</b>   |
| <b>Abbildungsverzeichnis</b>   | <b>v</b>    |
| <b>Tabellenverzeichnis</b>   | <b>vii</b>  |
| <b>Glossar</b>   | <b>viii</b> |
| <b>Abkürzungsverzeichnis</b>   | <b>xiii</b> |
| <b>1. Einleitung</b>   | <b>1</b>    |
| 1.1. Problemstellung . . . . .   | 2           |
| <b>2. Definition von SIEMs und Log-Analyse-Tools</b>                         | <b>4</b>    |
| 2.1. Existierende SIEMs Lösungen und Log-Analyse-Tools . . . . .             | 7           |
| 2.1.1. Splunk . . . . .  | 7           |
| 2.1.2. Prelude . . . . .   | 9           |
| 2.1.3. AlienVault OSSIM . . . . .  | 11          |
| 2.1.4. FortiSIEM . . . . .   | 14          |
| 2.1.5. Elastic Stack . . . . .   | 15          |
| 2.1.6. Grafana . . . . .   | 17          |
| 2.2. Auswahlkriterien . . . . .  | 21          |
| <b>3. Implementierung</b>  | <b>24</b>   |
| 3.1. Angriffserkennung anhand der Mitre ATT&CK Matrix . . . . .              | 25          |
| 3.2. Auswahl des Angriffes . . . . .   | 27          |
| 3.3. Installation und Generierung von Logdateien . . . . .                   | 28          |
| 3.3.1. Einrichtung der VMs für Opfersystem und Angreifen . . . . .           | 28          |
| 3.3.2. Generierung von Logdateien mit der Angrifssimulation . . . . .        | 29          |
| 3.3.3. Installation und Einrichtung von Grafana, Loki und Promtail . . . . . | 33          |
| 3.3.4. Weiterleitung der Logdateien zu Grafana . . . . .                     | 35          |

|  |           |
|--|-----------|
| 3.4. Aufbau der Erkennungsregel für den ausgewählten Angriff . . . . . | 38        |
| 3.4.1. Regelsätze in LogQL . . . . .                                   | 41        |
| 3.5. Hinzufügen der Regelsätze Grafana Loki . . . . .                  | 43        |
| 3.6. Einrichtung der Warnmeldungen in Grafana . . . . .                | 47        |
| <b>4. Evaluation der Implementation mit echten Logdateien</b>          | <b>50</b> |
| <b>5. Fazit</b>  | <b>53</b> |
| 5.1. Herausforderungen . . . . .                                       | 53        |
| 5.2. Zukünftige Forschung . . . . .                                    | 54        |
| <b>Literaturverzeichnis</b>  | <b>55</b> |
| <b>Anhang A. Originale Einstellungsdateien</b>                         | <b>65</b> |
| <b>Anhang B. Angepasste Einstellungsdateien von Grafana</b>            | <b>67</b> |
| <b>Anhang C. Angepasste Einstellungsdateien von Grafana</b>            | <b>71</b> |

## **Abstract**

The aim of this thesis is to develop a reliable, cost-effective solution for monitoring security events by utilizing an Open Source, Security Information and Event Management (SIEM)-like tool. Since many existing SIEM solutions are either proprietary or offer limited free features, we chose to use Grafana and its integrated tools - Promtail, Loki, and Alerting - to create our monitoring system. Grafana is primarily used to generate customizable graphics based on user input, and in our study, we used Secure Shell Protocol (SSH) log files as input. Promtail extracted the files from Endpoints and sent them to Loki, which used defined rules to aggregate and filter the content in order to identify possible cyberattacks against an SSH server. Once the information was extracted, Grafana was used to provide a visual overview of the SSH connections. Additionally, we employed the Alerting tool to send notifications about potential attacks identified by our rules. The ruleset we used to recognize potential attacks and the descriptions of these attacks were based on the Mitre ATT&CK Matrix. We found that the combined use of these tools was reliable, affordable, and useful for detecting static-based attacks. The main challenges in using these tools as a replacement for a SIEM solution are properly defining the ruleset used to read and extract information about cyberattacks from log files and adapting those rules to scenarios where attacks have more dynamic flows.

**Keywords:** Monitoring Tool, Grafana Loki Cyberattacks, SIEM

## Abbildungsverzeichnis

|     |  |    |
|-----|--|----|
| 1.  | Aufbau dieser wissenschaftlichen Recherche . . . . .   | 3  |
| 2.  | Allgemeine Struktur von SIEM . . . . .   | 5  |
| 3.  | Allgemeine Informationsfluss von SIEM . . . . .  | 6  |
| 4.  | Allgemeine Informationsfluss von Splunk . . . . .  | 8  |
| 5.  | Integration zwischen den Modulen von Prelude . . . . .   | 10 |
| 6.  | Erweiterte Architektur von Prelude mit dezentralisierten Datenquellen<br>und Datenverarbeitung . . . . .   | 11 |
| 7.  | Architekturdiagramm von AlienVault Unified Security Management (USM)                                       | 12 |
| 8.  | Skalierbare Architektur von FortiSIEM . . . . .  | 14 |
| 9.  | Integration zwischen Elasticsearch, Logstash und Kibana . . . . .  | 15 |
| 10. | Aufteilung der Funktionalitäten zwischen den Komponenten . . . . .   | 16 |
| 11. | Architektur von Loki . . . . .   | 18 |
| 12. | Eskalation bei Verwendung von „labels“ . . . . .   | 19 |
| 13. | Integration von Log-Quellen mit Promtail, Loki und Grafana . . . . .                                       | 20 |
| 14. | Aufbau unseres Arbeitslabors . . . . .   | 24 |
| 15. | Erwarteter Ablauf der Sammlung der Logdateien bis zur Warnmeldung . .                                      | 25 |
| 16. | Struktur der Mitre ATT&CK Matrix . . . . .   | 26 |
| 17. | Taktiken, Techniken, Prozeduren (TTP) für unseren Angriff . . . . .  | 27 |
| 18. | Darstellung von <i>Password Stuffing</i> . . . . .   | 29 |
| 19. | Ausgabe von <i>Password Stuffing</i> gegen Opfersystem1 . . . . .  | 30 |
| 20. | Ausgabe von <i>Password Stuffing</i> gegen Opfersystem2 . . . . .  | 30 |
| 21. | Darstellung von <i>Password Spraying</i> . . . . .   | 31 |
| 22. | Ausgabe von <i>Password Spraying</i> in Kali Linux gegen Opfersystem1 . . . .                              | 32 |
| 23. | Ausgabe von <i>Password Spraying</i> in Kali Linux gegen Opfersystem2 . . . .                              | 32 |
| 24. | Screenshot der Willkommenseite von Grafana Loki . . . . .  | 34 |
| 25. | Kommunikation zwischen Grafana Agents, Prometheus, OpenTelemetry<br>und <i>Grafana Ecosystem</i> . . . . . | 36 |

|     |  |    |
|-----|--|----|
| 26. | Datenfluss zwischen OpenTelemetry und die Tools von <i>Grafana Ecosystem</i> | 37 |
| 27. | Allgemeiner Ablauf eines Anmeldeverfahrens . . . . .                         | 38 |
| 28. | Beziehung zwischen „instance“ und „job“ . . . . .                            | 39 |
| 29. | Aufrufe des Inhalts der Logdateien nach bestimmten Labels . . . . .          | 40 |
| 30. | Aufrufe des Inhalts der Logdateien mit LogQL . . . . .                       | 40 |
| 31. | Feld in Grafana Loki für die manuelle die Eingabe des LogQL-Codes . . .      | 43 |
| 32. | „Builder“ in Grafana Loki für nutzerfreundlichere Eingabe des LogQL-Codes.   | 43 |
| 33. | Ausführliche Information über die Abfrage . . . . .                          | 44 |
| 34. | Ausgabe der Verarbeitung der SSH Logdateien von Grafana Loki . . . . .       | 45 |
| 35. | Ausführliche Darstellung der SSH Logdateien von Grafana Loki . . . . .       | 46 |
| 36. | E-Mail Warnmeldung von Grafana . . . . .                                     | 49 |

## Tabellenverzeichnis

|    |  |    |
|----|--|----|
| 1. | Gemeinsamkeiten zwischen den Kombinationen Grafana, Loki, Promtail und Kibana, Elasticsearch, Logstash . . . . . | 21 |
| 2. | Unterschiede zwischen den Kombinationen Grafana, Loki, Promtail und Kibana, Elasticsearch, Logstash . . . . .    | 22 |
| 3. | Verwendete Versionen der Anwendungen . . . . .   | 33 |
| 4. | Elementen eines Regelsatzes in Grafana Loki . . . . .  | 38 |
| 5. | Elementen eines Regelsatzes in Grafana Loki . . . . .  | 42 |
| 6. | Konfigurationsausschnitt von Promtail . . . . .  | 51 |
| 7. | Konfigurationsausschnitt von Loki . . . . .  | 52 |
| 8. | Verwendete Tools und ihre Hauptfunktionalitäten . . . . .  | 53 |

## Glossar

**Abfragesprache** oder *Query Language* funktioniert wie ein Filter für die Suche nach spezifischen Daten in einer Datenbank (at, 2022). 15, 17, 18, 22

**Application Programming Interface(API)** bezieht sich auf Code und Regeln, die die Kommunikation zwischen verschiedenen Anwendungen ermöglichen. In diesem Fall kann eine Anwendung eine Anfrage an eine andere Anwendung senden, um Daten zu holen oder zu senden (IBM, 2020). 35, 36

**Frontend** bezieht sich auf die Benutzeroberfläche und die Elementen, mit denen die Benutzer direkt interagieren (at, 2022). 18, 21, 51

**Backend** bezieht sich auf Elementen, mit denen die Benutzer keine direkte Kontakt haben, wie Server und Database(at, 2022). 21

**Brute-Force Angriffe** systematische Versuche, Zugangsdaten oder andere sensible Daten zu erraten, indem verschiedene Buchstaben, Ziffern und Symbole kombiniert werden (Sowmya et al., 2012). 9, 27, 38, 61

**Container** funktionieren ähnlich wie virtuelle Maschinen (VMs), jedoch sind Container Anwendungen mit den notwendigen Ressourcen, um eingepackte Anwendungen auszuführen. Container werden oft für einzelne verwendet und teilen Ressourcen wie den Kernel des Host-Betriebssystems. Jeder Container ist in einer isolierten Umgebung mit den notwendigen Ressourcen für den Betrieb der ausgewählten Anwendung. Docker ist eine der bekanntesten Plattformen zur Verwaltung von Containern (Douglass and Nieh, 2019). 24, 28, 33, 35

**Cortex** ist eine Open-Source-Plattform zur Verwaltung und Weiterverarbeitung von Sicherheitsvorfällen. Es fungiert als Analyse-Engine, indem es Informationen sammelt und je nach Fall Antworten oder Aktionen durchführt. Cortex kann eigenständig oder in Kombination mit anderen Tools verwendet werden (Project, 2021). 47

**Cyberangriff** Angriffe über Cyberspace. Solche Angriffe zielen darauf ab, Unternehmen und ihre Infrastrukturen zu zerstören, zu lähmen, zu kontrollieren oder die Integrität ihrer Daten zu stehlen oder zu manipulieren (NIST, 2020b). 1, 2, 5, 24, 25

**Confidentiality, Integrity and Availability (CIA)** beschreiben die drei wichtigsten Schutzziele der IT-Sicherheit: Vertraulichkeit, Integrität und Verfügbarkeit (Wendzel, 2018). 7

**Taktiken, Techniken, Prozeduren (TTP)** beschreiben in der MITRE ATT&CK Matrix Verhalten, Methode und Mustern bei Cyberangriffen (Maymi et al., 2017). 1, 2, 22, 26, 27, 53



**Cyber Kill Chain (CKC)** auch *Cyberattack Lifecycle* genannt, bezieht sich auf ein Sicherheitsmodell für die Identifizierung, Analyse und Unterbrechung von fortgeschrittenen Cyberangriffen. Dieses Modell hat sieben festgelegte Phasen: *Reconnaissance*, *Weaponization*, *Delivery*, *Exploitation*, *Installation*, *Command & Control (C2)* und *Actions on Objectives* (Martin, 2018). 9

**Cybersicherheit** - Diese Domäne umfasst Kenntnisse und Methoden für den Schutz, die Prävention und Wiederherstellung von elektronischen Kommunikationsmitteln und deren Inhalten. Dabei konzentriert sie sich auf deren Verfügbarkeit, Integrität, Authentizität, Vertraulichkeit und Nichtabstreitbarkeit. (NIST, 2020b). 26

**Endpoint** bezieht sich auf Geräte oder Systeme, die mit dem Netzwerk verbunden sind. Diese können z.B. Handys, Servers, Computers, Sensoren sein (Microsoft Security, 2022). iii, 4–6, 8, 10, 12, 16, 18, 35–37, 39, 44, 47, 51

**Hashwerte** sind Zeichenfolgen, die durch Anwenden einer mathematischen Funktion (Hashfunktion) auf einen Text oder eine Datei erzeugt werden. Die Rückführung auf das ursprüngliche Objekt aus dem Hashwert sollte jedoch unmöglich sein (Wendzel, 2018). 27

**Hypertext Transfer Protocol (HTTP)** ist die Grundlage des Internets. Dieses Protokoll definiert die Regeln für die Übertragung von Texten und Dateien im Internet. Das Protokoll verwendet acht Methoden, um die Kommunikation zwischen Clients und Servern herzustellen: *GET*, *POST*, *HEAD*, *DELETE*, *CONNECT*, *OPTIONS*, *PUT* und *TRACE* (Chai and Ferguson, 2021) and (tutorialspoint, 2009). 19

**Zweites Gesetz zur Erhöhung der Sicherheit informationstechnischer Systeme** ist das zweite Gesetz zur Erhöhung der Sicherheit informationstechnischer Systeme wurde im Jahr 2021 als verabschiedetes Bundesgesetz zur Erhöhung der Sicherheit von informationstechnischen Systemen besonders von den kritischen Infrastrukturen (Harmes, 2023). 7

**Falsch Positiv** ist eine Warnmeldung einer nicht vorhandenen Verwundbarkeit (NIST, 2020c). 13

**grafische Benutzeroberfläche (GUI)** - Es handelt sich dabei um eine visuelle Schnittstelle, die es dem Benutzer ermöglicht, mit Anwendungen mittels Symbolen und grafischen Elementen zu interagieren. Im Gegensatz dazu verwendet die textbasierte Benutzeroberfläche (CLI) Befehlszeilen und Texteingabe zur Steuerung von Anwendungen (Fu, 2018). 7, 28

**Hydra** ist eine Open Source Tool für Brute-Force Angriffe (Kali, 2022a). 29, 30

**Health Insurance Portability and Accountability Act (HIPAA)** ist ein US-Bundesgesetz über den Schutz von sensiblen personenbezogenen Gesundheitsdaten (U.S. Depart-

ment of Health & Human Services, 2016). 7

**JavaScript Object Notation (JSON)** ist eine Standard text-basierte Dateiformat, die von Menschen leicht zu verstehen ist und von Maschine einfach zu analysieren und strukturieren (parsen). Es ist eine Untermenge der JavaScript Programmiersprache (Ecma, 2017). 38

**Kali** ist eine Open-Source-Linux-Distribution, die speziell auf den Einsatz von Sicherheitstools für Angriffe und Sicherheitstests ausgelegt ist (Kali, 2022b). 28

**Künstliche Intelligenz (KI)** bezeichnet die Fähigkeit, Maschinen menschenähnliche kognitive Fähigkeiten wie Verständnis, Entscheidungsfindung, Lernen und Problemlösung zu entwickeln (Collins et al., 2021). 54

**LogQL** ist eine für Grafana Loki entwickelte Abfragesprache. Sie wird verwendet, um Logdateien zu zusammenzustellen (Grafana Labs, 2021c). 18, 22, 39–44, 48, 53

**Multi-Faktor-Authentisierung (MFA)** bezeichnet ein Authentifizierungsverfahren, bei dem mindestens zwei unabhängige Komponenten zur Identitätsprüfung verwendet werden, um eine höhere Sicherheit zu gewährleisten. Zum Beispiel kann ein Benutzer aufgefordert werden, sich mit einem Passwort und einem Fingerabdruck oder einem Token und/oder einer Gesichtserkennung zu authentifizieren (Ibrokhimov et al., 2019). 38

**Machine Learning (ML)** bezieht sich auf die Fähigkeit von Systemen, automatisch und menschenähnlich Probleme zu lösen und spezifische Aufgabe zu erledigen (Janiesch et al., 2021). 8, 14

**Mitre ATT&CK** Abkürzung für *Adversarial Tactics, Techniques and Common Knowledge*. Es bezieht sich auf eine weltweit zugängliche Wissensbasis mit detaillierter Beschreibung, Klassifizierung und Bekämpfung von verschiedenen Angriffstechniken (MITRE ATT&CK, 2018a). iii, 1, 2, 9, 22, 24–27, 53

**Grafana Ecosystem** beinhaltet die Tools Loki, Grafana, Tempo, Mimir und Phlare (Grafana Labs, 2022b). 35–37

**Mimir** ist ein in Grafana integriertes Tool, das ähnlich wie Grafana Loki funktioniert. Es ermöglicht skalierbare Dateispeicherung, Bearbeitung und Abfrage mit der Abfragesprache LogQL (Grafana Labs, 2022e). 35, 47

**Tempo** ist ein Tool von Grafana Ecosystem, das sich für die Unterscheidung und Erkennung von Prozessen beschäftigt, dieses Verfahren heißt verteilte Rückverfolgung (Grafana Labs, 2020a) und (DevInsider, 2021). 35

**Phlare** ist auch ein Tool vom Grafana Ecosystem, das sich mit der Sammlung und der

Analyse von Daten über die Leistung von Anwendung beschäftigt (Grafana Labs, 2022f) und (Salinger, 2021). 35

**National Institute of Standards and Technology (NIST)** ist eine US-Behörde, die für die Regelungen, Vereinheitlichung und Weiterentwicklung von Standards im Bereich Informationstechnologie zuständig ist (NIST, 2020a). 1

**Open Source** beschreibt Software, die folgende Voraussetzungen erfüllen: freie Verteilung, Kopierung, Modifizierung und Nutzung und keine Diskriminierung gegenüber Personen und/oder Gruppe (Open Source Initiative, 2007). iii, 1, 2, 4, 7, 9, 11, 12, 15, 21, 22

**Query Domain Specific Language (DSL)** Abfragesprache von Elasticsearch für die Kommunikation mit der Databank. Diese Abfragesprache hat zwei verschiedene Typen: „Leaf“ für die Suche nach spezifischen Muster und „Compound“ für die logische Kombination von mehrere Abfrage (elastic, 2015). 16, 22

**Password Spraying** ist ein Angriff gegen Anmeldedaten, indem mögliche Passwörter gegen verschiedenen viele Benutzernamen verwendet werden. Das Ziel dieses Angriffes ist eine Kontosperrung zu vermeiden, indem wenige Versuche pro Nutzer stattfindet (Swathi, 2022). 27, 28, 31, 32

**Password Stuffing** ist ein Angriff gegen Passwörtern, indem bekannte Anmeldedaten von vorherigen Angriffen verwendet werden. Dieser Angriff basiert sich auf die Idee, dass Nutzer dasselbe Passwort für verschiedenen Systemen verwenden (Ba et al., 2021). 27, 29–31

**Payment Card Industry Data Security Standard (PCDI DSS)** sind Sicherheitsstandards, die von Unternehmen, die Kreditkarten akzeptieren, verarbeiten, speichern oder übertragen, eingehalten werden müssen (Centers for Disease Control and Prevention, 2016). 7

**Network Operations Center (NOC)** ist ein zentralisierter Bereich eines Unternehmens, der für die Überwachung und Verwaltung von Netzwerkaktivitäten verantwortlich ist. (Mohammed et al., 2021). 15

**OpenTelemetry** ist eine Sammlung von Tools zu Generierung, Sammlung und Exportierung von Messdaten, auch telemetrische Daten genannt. Das Tool besteht aus *Agents* und *Collectors*. Der Agent wird auf jedem Endpunkt installiert, um Daten zu sammeln. Der Collector empfängt die Daten und leitet sie weiter (Grafana Labs, 2022c), (OpenTelemetry, 2023) und (Höfling, 2022). 35–37

**Plugin** sind optionale Software-Komponenten, die weitere Funktionalitäten zu einer Anwendung hinzufügen (IT-Service.Network, 2020). 8, 15, 17, 22, 47

- Portnummer** ist eine numerische Identifikation eines Dienstes oder einer Verbindung. Es handelt sich um eine logische Adressierung, die zur Identifikation eines oder mehrerer Prozesse verwendet wird (Tanenbaum and Wetherall, 2011). 42
- Prometheus** ist ein Open-Source-Tool der Firma SoundCloud. Es dient der Überwachung und Erstellung von Warnmeldungen, die auf der Grundlage von vordefinierten Regeln konfiguriert werden (Prometheus, 2016). 17, 35, 36, 39, 47
- Proprietär** bezieht sich auf Software, die einer Firma oder Person gehört. Für die Nutzung ist in der Regel der Kauf einer Lizenz erforderlich. In diesem Fall haben Kunden nur begrenzten oder keinen Zugriff auf den Quellcode (Nexcess, 2022). 2, 7, 21
- Reguläre Ausdrücke (RegExp)** ,*regular expressions* im Original, sind Methode, um Muster in Zeichenketten zu beschreiben. Im Informatikbereich werden solche Ausdrücke verwendet, um spezifische Texte oder Einträge in Textdateien zu finden (Qusef and Hassan, 2018). 38
- Rockyou** ist eine Textdatei mit über 8 Milliarden Passwörtern im Klartext. Diese Datei stammt aus einem Angriff gegen Yahoo im Jahr 2009 und wird seitdem ständig aktualisiert (Mikalauskas, 2023). 29, 31
- Security Operations Center (SOC)** ist ein zentralisierter Bereich eines Unternehmens, der für die Überwachung, Identifizierung, Bewertung und Reaktion auf Sicherheitsvorfälle verantwortlich ist. (Vielberth, 2021). 1, 4
- Secure Shell Protocol (SSH)** ist ein Netzwerkprotokoll, das eine verschlüsselte Verbindung zwischen Endpunkten bietet. SSH wird meistens für die Fernadministration von Computern verwendet. Dieses Protokoll ermöglicht die Erstellung einer sicheren Verbindung in einer unsicheren Umgebung (Wendzel, 2018). iii, 29
- Ubuntu** ist eine Linux-Distribution, die oft für Server, Clients und Internet of Things (IoT) verwendet wird (Ubuntu, 2023b). 28
- Use Cases** sind narrative Beschreibungen der Interaktionen zwischen Systemen und Benutzern. Sie dienen der Anforderungserhebung für ein System (Savic et al., 2012). 2, 9, 13
- Virtuelle Maschine (VM)** ist eine Kopie der Hardware-Struktur mit einer eigenen Aufteilung von Ressourcen und einem eigenen Betriebssystem. Auf einer physischen Maschine, auch Host genannt, können mehrere solcher VMs ausgeführt werden. Sie emulieren ein echtes und unabhängiges System (Tanenbaum, 2009). 24, 28

## Abkürzungsverzeichnis

- API** Application Programming Interface (API).
- BSI** Bundesamt für Sicherheit in der Informationstechnik.
- CIA** Confidentiality, Integrity and Availability.
- TTP** Taktiken, Techniken, Prozeduren.
- CKC** Cyber Kill Chain.
- HTTP** Hypertext Transfer Protocol.
- IDS** Intrusion Detection System.
- GUI** grafische Benutzeroberfläche.
- IPS** Intrusion Prevention System.
- FPO** Fachspezifische Prüfungsordnung.
- HIPAA** Health Insurance Portability and Accountability Act.
- JSON** JavaScript Object Notation .
- KI** Künstliche Intelligenz.
- MFA** Multi-Faktor-Authentisierung.
- ML** Machine Learning.
- NIST** National Institute of Standards and Technology.
- OTX** Open Threat Exchange.
- LML** Log Monitoring Lackey.
- OSSIM** Open Source Security Information Management.
- DSL** Query Domain Specific Language.
- PCDI DSS** Payment Card Industry Data Security Standard.
- NOC** Network Operations Center.
- OWASP** Open Web Application Security Project.

**RegExp** Reguläre Ausdrücke.

**SIEM** Security Information and Event Management.

**SEM** Security Event Management.

**SIM** Security Information Management.

**SOC** Security Operations Center.

**SSH** Secure Shell Protocol.

**USM** Unified Security Management.

**VM** virtuelle Maschine.

# 1. Einleitung

Der heutige Netzwerkverkehr ist fast tausendfach größer als vor 20 Jahre (Roser et al., 2015). Das Internet wird heutzutage für fast all unsere Tätigkeiten verwendet: Soziale Netzwerke, Video und Audio-Streaming, Einkauf, behördliche Angelegenheiten und viele andere. So viel Verkehr generiert eine unermessliche Menge von Daten, die alle möglichen Inhalte beinhalten, von unschuldigen Anfragen nach einem eigenen Kontostand bis zur Ausführung von beabsichtigten Anfragen, um Systeme lahmzulegen. Um ersteres vom letzterem zu unterscheiden, verwenden viele Firmen das sogenannte Security Information and Event Management (SIEM) oder Log-Analyse-Tools.

Das National Institute of Standards and Technology (NIST) definiert SIEM als Software für die Sammlung, Anpassung, Analyse, Überwachung und Bedrohungserkennung von Sicherheitsdaten aus verschiedenen Quellen (NIST, 2020d). Die Bewertung dieser Daten spielt eine wesentliche Rolle bei solchen Anwendungen, um zu entscheiden, ob es sich um legitime Anfrage oder um einen Cyberangriffe handelt. Mit den Daten von SIEM kann das Security Operations Center (SOC) Team Maßnahmen ergreifen. Log Analysis und Log Management beziehen sich auf die Sammlung, Bearbeitung, Speicherung und/oder Löschen, Weiterleitung und Überwachung von Loginformationen. In dieser Arbeit benutzen wir den Begriff „Log-Analyse-Tools“, um diese Systeme zu referenzieren.

In diesem Projekt recherchieren und vergleichen wir existierende SIEM und Log-Analyse-Tools. Danach entscheiden wir uns für eine Open Source Lösung, um eine kostengünstige Verbreitung und Implementierung zu ermöglichen. Mit dem ausgewählten Tool analysieren und bewerten wir spezifische Logdateien, damit wir demnächst potenzielle Angriffe erkennen können. Die Regelsätzen für die Angriffserkennung sollen automatisch mithilfe der Taktiken, Techniken, Prozeduren (TTP) von Mitre ATT&CK aufgebaut werden.

Unser Ziel ist es, eine umfangreiche Open Source Lösung zu finden bzw. zu gestalten, die uns ermöglicht, Cyberangriffe nach vordefinierten Regelsätzen zu detektieren. Proprietäre Lösungen gibt es viele auf dem Markt. Sie sind meistens kostenpflichtig und verlangen spezielle Wartung. Da sich solche Lösungen eher an große Konzerne richten, beschäftigen wir uns mit dem Aufbau und Strukturierung einer eigenen Lösung mithilfe von Open Source Tools.

Diese Arbeit wird in folgende Teile geteilt:

- Definition von SIEMs und Log-Analyse-Tools
- Beschreibung von existierenden Proprietären und Open Source Lösungen
- Entscheidung für die Implementation einer Open Source Lösungen
- Installation und Konfiguration von der ausgewählten Anwendung
- Implementierung von zwei spezifischen Cyberangriffen
- Definition der Use Cases und Implementierung von Regelsätze für die automatische Erkennung von der vorherigen Angriffen anhand der Mitre ATT&CK Matrix
- Empfang, Bearbeitung und Eingabe der spezifischen Logdateien der Hochschule in der ausgewählten Lösung

## **1.1. Problemstellung**

Während der Entwicklung dieser Arbeit beschäftigen wir uns mit folgenden Fragenstellung:

- Wie können wir ein Log-Analyse-Tool konfigurieren, dass es vordefinierte Angriffe nach der Mitre ATT&CK Matrix automatisch erkennen kann?
- Wie können wir allgemeine Regelsätze definieren, sodass wir sie später für die verschiedenen TTP der Mitre ATT&CK Matrix anpassen können?



Das folgende Diagramm, 1, stellt den Aufbau und Entwicklung dieser Arbeit dar, wie oben beschrieben:

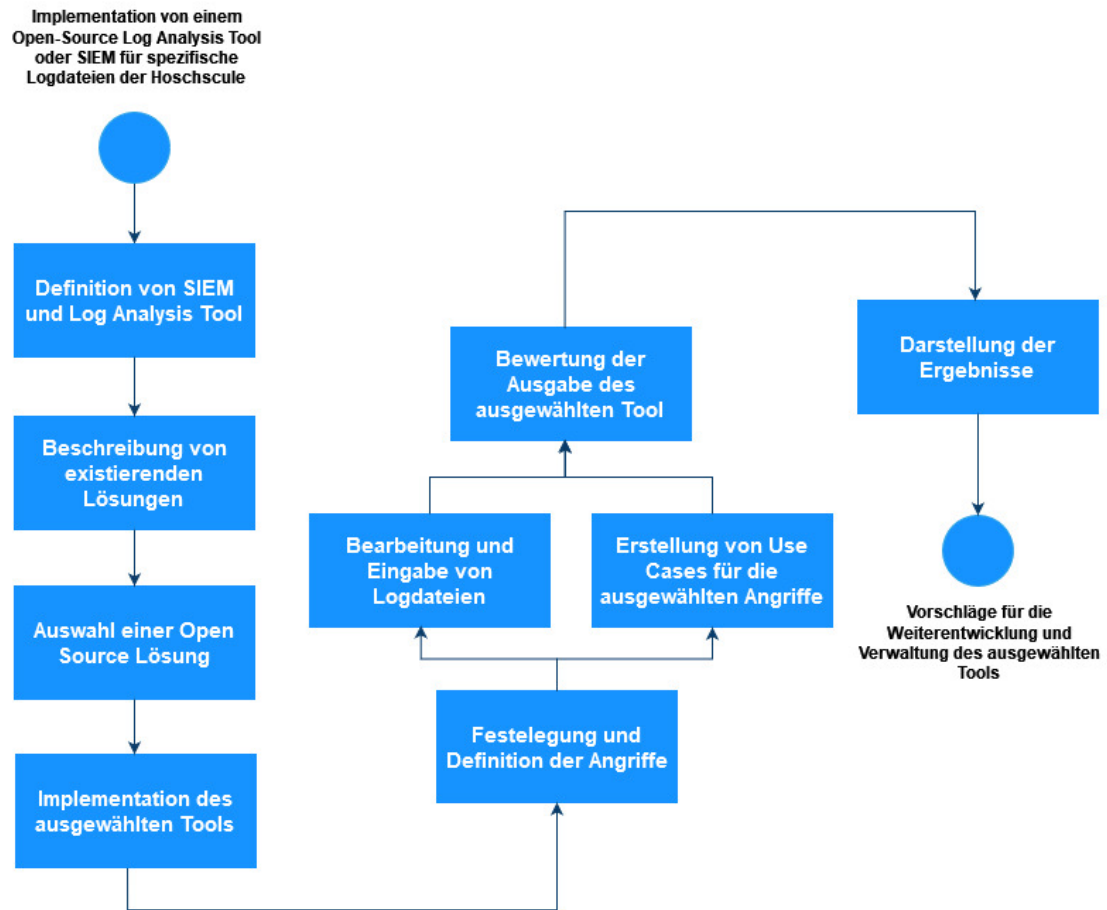


Abbildung 1: Aufbau dieser wissenschaftlichen Recherche  
Quelle: Eigene Darstellung

## 2. Definition von SIEMs und Log-Analyse-Tools

Sowohl in der wissenschaftlichen als auch in der kommerziellen Literatur gibt es verschiedene Definitionen von SIEM. Diese widersprechen sich nicht, aber zeigen unterschiedliche Perspektiven. Eine von dieser Definitionen behaupt, dass SIEM das Ergebnis einer Kombination zwischen dem Security Event Management (SEM) und Security Information Management (SIM) ist (Dorigo, 2012). Das Erste bezieht sich auf die Identifizierung, Bewertung, Beobachtung und den Bericht von Sicherheitsvorfällen mithilfe von verschiedenen Log Dateien (techopedia, 2015). Das Zweite ist eine Software, die bei der automatischen Sammlung von Loginformationen aus vielen Quellen, wie Firewall und Servern unterstützt (techopedia, 2022). Da die meisten SIEM-Lösungen kostenpflichtig sind, existieren auch viele Open Source Log-Analyse-Tools, die eine ähnliche Aufgabe erledigen, ohne die Kernelemente von SIEM zu besitzen.

Log-Analyse-Tools sind in der Regel Anwendungen die Logdateien empfangen, speichern, bearbeiten und nach spezifischen Regeln bewerten. Diese Tools unterstützen Programmierer und Systemadministratoren bei der Überwachung des Zustands von Systems oder einer Software. Ein solches Tools kann Logdateien von verschiedenen Endpoints und in verschiedenen Formaten bekommen, so dass es schließlich einen Bericht oder eine Grafik erzeugt (Łukasz Korzeniowski and Goczyla, 2022). Ihre Nutzung beschränkt sich nicht auf den Sicherheitsbereich ein, sondern kann für gesamte IT-Bereich nützlich sein.

In dem Universum des SOC mischen sich verschiedene Begriffe, die manchmal zur Verwirrung führen, weil sie ähnliche Bedeutungen haben und Verantwortungen abdecken. Intrusion Detection System (IDS), Intrusion Prevention System (IPS), Security Information and Event Management (SIEM) und Log-Analyse-Tools werden von Laien und sogar von Spezialisten oft verwechselt, da ihre Aufgaben mehr Gemeinsamkeiten als Unterschiede haben. Diese Tools sind feste Bestandteil eines SOC, jedoch konzentrieren wir uns auf Log-Analyse. Um den Fokus der Arbeit zu vergrenzen, erläutern wir demnächst Abschnitt die erwähnten Begriffe.

Intrusion Detection System (IDS), Intrusion Prevention System (IPS) und Security Information and Event Management (SIEM) sind Sicherheitstool als Software und/oder Hardware, die zusammenarbeiten können, um einen umfangreiche Netzwerksicherheit anzubieten. Intrusion Detection System (IDS) identifizieren und berichten über Cyberangriffe, indem er Netzwerkverkehr überwacht. Nach der Erkennung eines verdächtigen Verkehrs, muss das SOC Team zur Handlung kommen. Intrusion Prevention System (IPS) überwacht den Netzwerkverkehr und kann die Verbindung automatisch unterbrechen, falls es verdächtig ist (Wendzel, 2018). Ein IPS kann konfiguriert werden, um automatisch nach festgelegten Muster zu handeln. Beide Tools können Logdateien generieren, die von einer SIEM-Lösung oder Log-Analyse-Tools gesammelt werden können. Die Abbildung 2 stellt eine allgemeine Struktur von SIEM-Lösungen dar:

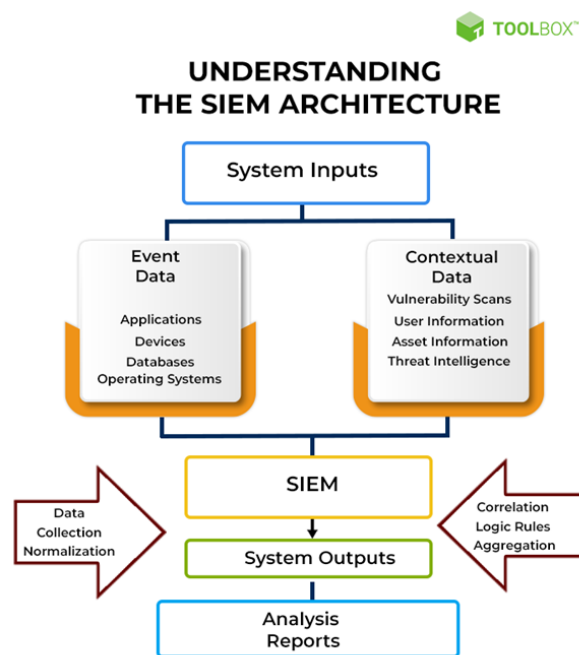


Abbildung 2: Allgemeine Struktur eines SIEM  
Quelle: (Mohan, 2022)

Oben auf dem Bild, sehen wir, dass es zwei wichtige Datenquelle gibt, auf der linken Seite sind die Logdateien der Endpoints und auf der rechten Seite die Informationen,

um Anomalie zu erkennen. Nur der linken Seite stellt ein Log-Analyse-Tool dar. Mit der Nutzung der Elementen der rechten Seite, werden die Daten verarbeitet, um Muster zu erkennen und Information herauszuholen. Diese Zusammenarbeit repräsentiert eine SIEM-Lösung, die als Ergebnis ein oder mehrere Berichten und/oder Graphik ausgeben kann. Granadillo et al. (2021) teilt ein SIEM in unabhängige Blöcke auf, wo jeder Block eine spezifische Funktion hat. Diese Blöcke und die Richtung der Information werden werden in der Abbildung 3 dargestellt:

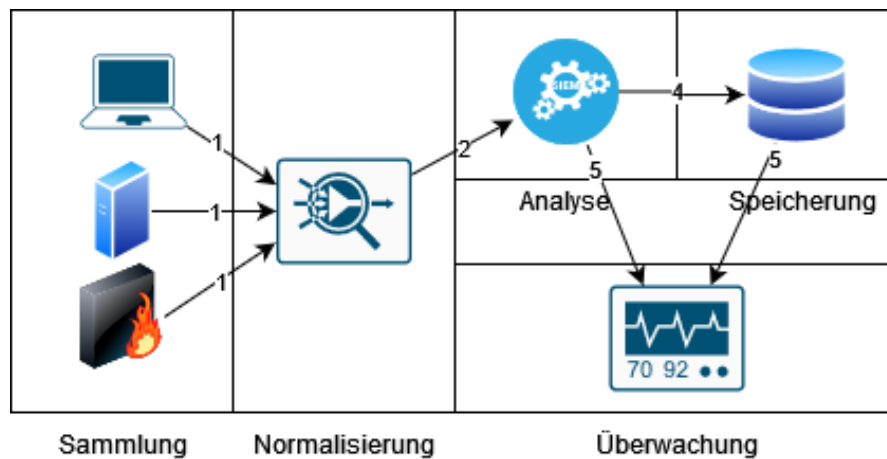


Abbildung 3: Allgemeine Informationsfluss eines nach Granadillo et al. (2021)

In der Abbildung 3 sehen wir den Informationsfluss, wo die Logdateien erstellt werden, bis ihr Inhalt bearbeitet und verarbeitet wird. Die Logdateien der Endpoints werden von einem sogenannten *collector* gesammelt (1). Diese werden dann angepasst, damit sie eine einheitliche Formatierung bekommen (2), da sie verschiedene Format und Inhalte beinhalten. Danach werden die normalisierten Daten analysiert und nach Angriffsmuster verarbeitet (3). Der Inhalt wird dann in einer Datenbank gespeichert (4) und sowohl das Ergebnis der Analyse als auch der Inhalt können von einer Überwachungstool in Graphik- und/oder Textformat aufgerufen werden (5) Granadillo et al. (2021).

Aus bisheriger Abbildung stellen wir fest, dass SIEM das Ergebnis der Integration von zwei wichtigen Komponenten ist, Datensammlung und Verarbeitung. Das Ziel dieser Soft-

ware ist es die automatische Analyse zu ermöglichen, indem Daten kombiniert und bewertet werden können. In vielen Bereichen, wie Finanzen (Payment Card Industry Data Security Standard (PCDI DSS)), Gesundheitswesen (Health Insurance Portability and Accountability Act (HIPAA)), sind SIEMs eine gesetzliche vorgegeben (Jog, 2020). In Deutschland verpflichtet das Zweites Gesetz zur Erhöhung der Sicherheit informationstechnischer Systeme die Anwendungen solcher Lösungen, um Schädigung der Confidentiality, Integrity and Availability (CIA) zu verhindern (BSI, 2021). Log-Analyse-Tools sind seinerseits allgemeine Tools zu der Speicherung, Anpassung, Bewertung und Darstellung von Logdateien, ohne dass sie sich auf die Sicherheitsebenen fokussieren.

## 2.1. Existierende SIEMs Lösungen und Log-Analyse-Tools

Die existierenden SIEMs und Log-Analyse-Tools werden in *Proprietär* und *Open Source* getrennt. In folgenden Abschnitten präsentieren wir das *Proprietäre* Tool Splunk, um einen Maßstab für unsere Auswahl über Funktionalität zu definieren. Wir analysieren folgende Tools:

- Prelude
- AlienVault Open Source Security Information Management (OSSIM)
- FortiSIEM
- Elastic Stack
- Grafana integriert mit Loki

### 2.1.1. Splunk

Splunk, von dem gleichnamigen Unternehmen, wurde 2003 in den USA auf dem Markt gebracht (Splunk, 2022b). Splunk bietet einfache Wartung, benutzerfreundliche GUI und Skalierbarkeit (Kazarov et al., 2018). Er gehört zu der meistverwendeten SIEM und zu ihren Kunden gehören große Konzerne wie Airbus, Coca-Cola, Intel und die Deutsche Bahn. Splunk bietet laut seiner Webseite folgende Funktionalitäten an (Splunk, 2015a):

- Skalierbare Datenplattform
- Risk-based Warnmeldung
- Bedrohungserkennung mithilfe von Machine Learning (ML)
- Automatische Aktualisierung von der Bedrohungs- und Schwachstelle-Database
- Unkomplizierte Installation und Anwendung

Die Architektur und der Informationsfluss von Splunk unterscheidet sich nicht von der oben dargestellten Struktur in der Abbildung 2 und Abbildung 3. Da es sich hier um eine proprietäre Lösung handelt, lässt sich Splunk mit anderen Funktionalitäten verwalten und erweitern.

Die nächste Abbildung, 4, zeigt ein zusammenfassendes Diagramm über den Umfang des Informationsflusses von Splunk laut Splunk (2015b):

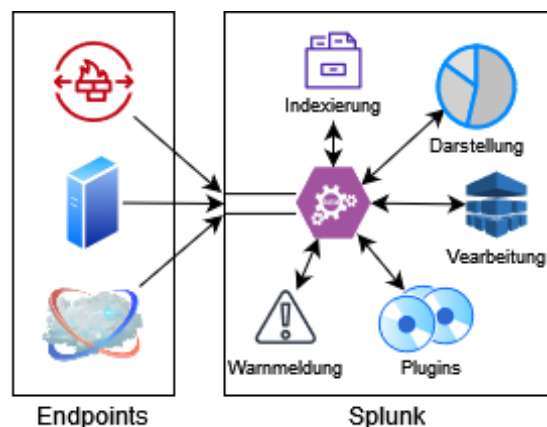


Abbildung 4: Allgemeine Informationsfluss von Splunk

Auf der Abbildung 4 haben wir links die Endpoints, dessen Logdateien von Splunk und seine Plugins und Funktionalitäten (rechts) verarbeitet und analysiert werden. Der Konzept von Splunk lässt sich von der Idee formulieren, dass verschiedenen und unabhängige Funktionalitäten zusammenarbeiten (Splunk, 2015b).

Wie in anderen Tools, funktioniert die Bedrohungserkennung mithilfe von Regelsätzen, die aus Uses Cases entstehen. Laut der Dokumentation existieren sie in folgenden Szenarien: Überwachung, Untersuchung und Erkennung. Die Software ist sowohl mit Mitre ATT&CK Matrix als auch mit Cyber Kill Chain (CKC) für die Gestaltung ihrer Uses Cases integriert (Splunk, 2022a).

In (Su et al., 2016) wurden Angriffe auf einem System simuliert und schließlich mit Splunk analysiert, um Gefahren zu identifizieren und diese im Voraus zu sehen. In (Selvaganesh et al., 2022) wurde beschrieben, wie eine Splunk-Instanz installiert und konfiguriert wird, um spezifische Brute-Force Angriffe zu erkennen.

### **2.1.2. Prelude**

Das im Jahr 2002 in Frankreich von Yoann Vandroorselaere released Tool Prelude zählt zu einer europäischen Open Source SIEM Lösung. Laut dem Anbieter verfügt Prelude unter anderem folgende Funktionalitäten (Prelude SIEM, 2018):

- Informationszentralisierung
- Datenaggregation und -Zusammenhang mit vordefinierten und von dem Nutzer angepassten Regeln
- Einbruchserkennungsmechanismen
- Datennormalisierung

Die Anwendung besteht aus verschiedenen unabhängigen Modulen. Unter denen nennen wir Warnmeldung, Archivierung, Analyse und Verwaltung. Erstens gehört zu der zentralen Aufgabe dieser Lösung - es kann folgendes: Daten empfangen, normalisieren, Zusammenhänge erschließen und Meldungen generieren. Das zweite Modul „Archivierung“ konzentriert sich auf die Speicherung und Verfügbarkeit der Daten. Der Analyse-Modul stellt Daten in verschiedenen Formaten dar. Das letzte Modul dient dazu, die Anwendung zu steuern, Nutzer zu erstellen und deren Rechte zu konfigurieren (European Commission, 2015).

Die Abbildung 5 zeigt die Integration verschiedener Module von Prelude und wie sie mit einander kommunizieren, um Analyse, Meldung und Speicherung zu generieren (Prelude Team, 2007):

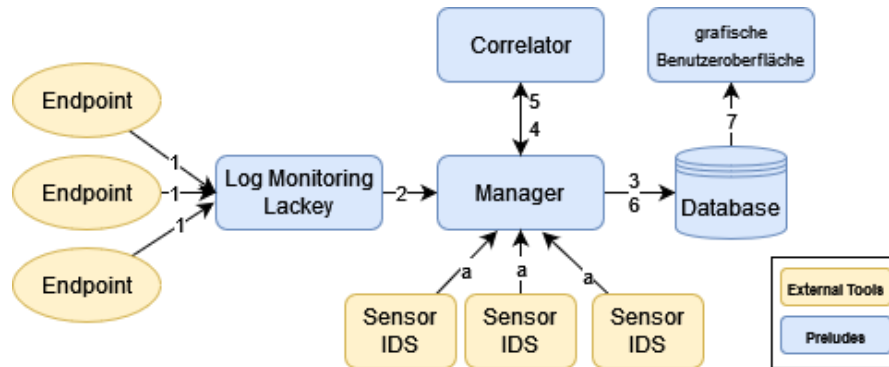


Abbildung 5: Integration zwischen den Modulen von Prelude

Aus der Abbildung und der Dokumentation können wir folgenden Informationsfluss erkennen - die Daten werden von Endanwendung generiert und zum Loganalyzer (Prelude Log Monitoring Lackey (LML)) (1) geschickt, wo sie normalisiert und bewertet werden. Für die Logs, wo es verdächtige Werte nach dem vordefinierten Regelsätze in Log Monitoring Lackey (LML) gibt, werden Warnmeldungen generiert. Diese Meldungen werden zum Manager Module (2) weitergeleitet. Der Manager kann auch Daten von IDS mithilfe von Sensoren empfangen (a), die an den Endpoints installiert sind, um Events zu analysieren und zum Manager zu schicken. Die Daten werden in der Database gespeichert (3) und auch zu werden auch zum Correlator weitergeleitet, wo dieser nach einem Zusammenhang (5) zwischen anderen Daten sucht. Das Ergebnis von Correlator wird wieder zum Manager (4) geschickt und danach zu der Datenbank (6). Schließlich stehen die Berichte in dem GUI (7) zur Verfügung (Prelude SIEM, 2020).

Die Architektur der Anwendung ermöglicht sowohl einen zentralisierten als auch einen dezentralisierten Aufbau, wie auf der Abbildung 6 gezeigt wird. In der ersten funktioniert Prelude als zentral und empfängt Daten von verschiedenen Datenquelle und in den zweiten gibt es mehrere sogenannten „Branches“ von Preludes, dessen Ergebnisse sich in



einem GUI darstellen lassen (Prelude Team, 2007).

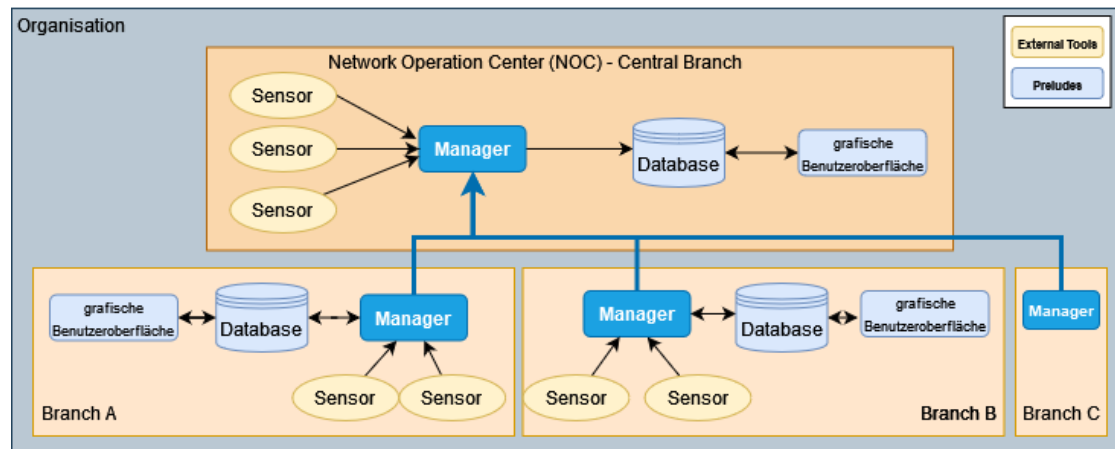


Abbildung 6: Erweiterte Architektur von Prelude mit dezentralisierten Datenquellen Datenverarbeitung

In (Radoglou-Grammatikis et al., 2021) wurde Preludes, AlienVault und Cyberoam iView anhand technischer und nutzerfreundlicher Kriterien zu vergleichen. Von diesen Kriterien nennen wir folgende (Radoglou-Grammatikis et al., 2021):

- **technische Kriterien**

- Echtzeite Leistung
- Umfang und Flexibilität der Meldungen
- Zusammenhang von Warnmeldung

- **nutzerfreundliche Kriterien**

- Vollständige Dokumentation
- Schwierigkeitsgrad der Installation
- Schwierigkeitsgrad der Einstellung

In den technischen Kriterien lag Prelude auf dem dritten Platz und bei Benutzerfreundlichkeit bekam Prelude den ersten.

### 2.1.3. AlienVault OSSIM

AlienVault OSSIM ist eine im Jahr 2007 entwickelte Open Source SIEM Lösung. Im Jahr 2018 wurden sie von der Firma AT&T Communication gekauft (CBNINSIGHTS, 2020). In der Beschreibung des Anbieters steht, dass er sie auch dabei unterstützt, Daten zu sammeln, zu normalisieren und zu bewerten. Er behauptet auch, dass sein Tool in der Lage ist, Schwachstellen und Angriffe zu erkennen, das Verhältnis zu beobachten und Datenzusammenhänge zu erschließen (AT&T Cybersecurity, 2022).

AlienVault hat eine kostenpflichtige Version, die Alien Vault Unified Security Management (USM) heißt. Auf der Webseite von AT&T steht, dass es keine dedizierte Dokumentation für die Open Source Version AlienVault OSSIM gibt, da viele Funktionalitäten von der kostenpflichtigen Version stammen (AT&T Cybersecurity, 2022).

Die nächste Abbildung 7 stellt das von dem Anbieter freigelegte Architekturdiagramm von der USM Version dar (AT&T Cybersecurity, 2022):

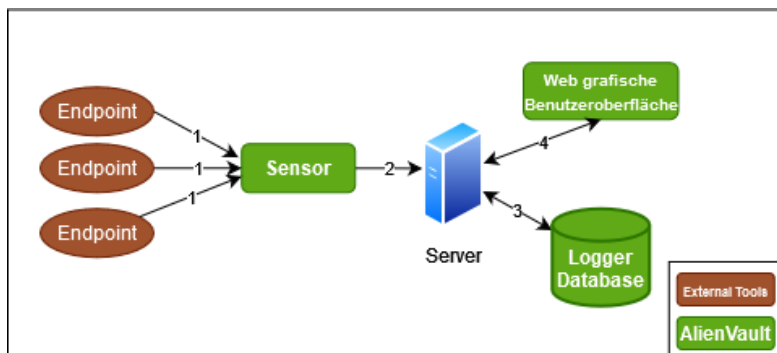


Abbildung 7: Architekturdiagramm von AlienVault USM

Links auf der Abbildung 7 sehen wir die mit einem Sensor verbundenen Endpoints (1). Der Sensor analysiert die Daten und leitet diese zu dem Server (2) weiter (Vault, 2019). Die Daten werden auf Logger (3) gespeichert und über die GUI (4) dargestellt.

Laut der Website Comparitech steht AlienVault auf dem 13ten Platz von den bestbewerteten SIEM-Lösungen. Die Seite beschreibt auch, dass zu dem Tool einen IDS, ein

Verhaltensüberwachungssystem und einen Schwachstellen-Scanner integriert sind. Die Anwendung ist auch mit der Plattform Open Threat Exchange(OTX) verbunden - diese ermöglicht eine Teilung von Informationen über die Schwachstelle. Comparitech highlighted, dass die Anwendung wegen ihrer niedrigen Kosten besser für kleine oder mittelständige Unternehmen geeignet ist (comparitech, 2023).

Die Anwendung bietet konsistenten Daten Zusammenhang an und soll das Auftauchen von Falsch Positiv vermeiden. AlienVault kommt mit vordefinierten Uses Cases, die dabei unterstützen, gewöhnliche Angriffsszenarien zu erkennen. Die Installation, die Einstellung und die Integration mit anderen Tools ist auch benutzerfreundlich (Gómez et al., 2022). (Nabil et al., 2017) behauptet, dass für viele Quellen eine manuelle Normalisierung der Logdateien notwendig ist.

Die meisten Publikationen über AlienVault OSSIM stammen aus kommerziellen Quellen und diese konzentrierten sich auf eine kostenpflichtige SIEM-Lösung von AT&T.

#### 2.1.4. FortiSIEM

FortiSIEM ist eine SIEM-Lösung von der US-amerikanischen Firma Fortinet. Fortinet kaufte im Jahr 2016 das Unternehmen AccelOps und dessen SIEM-Lösung und benannte es zum FortSIEM (Fortinet, 2016).

Laut dem Anbieter hat FortiSIEM eine robuste Integration mit anderen Tools und lässt sich leicht und einwandfrei skalieren. Andere Versionen des Tools sind mit Machine Learning (ML) integriert, sodass die Anwendung auch Verhältnisanalysen durchführen kann (Fortinet, 2022). Das Tool bietet auch eine umfangreiche und ausführliche Dokumentation an. Die nächste Abbildung, 8, zeigt die skalierbare Architektur von FortiSIEM:

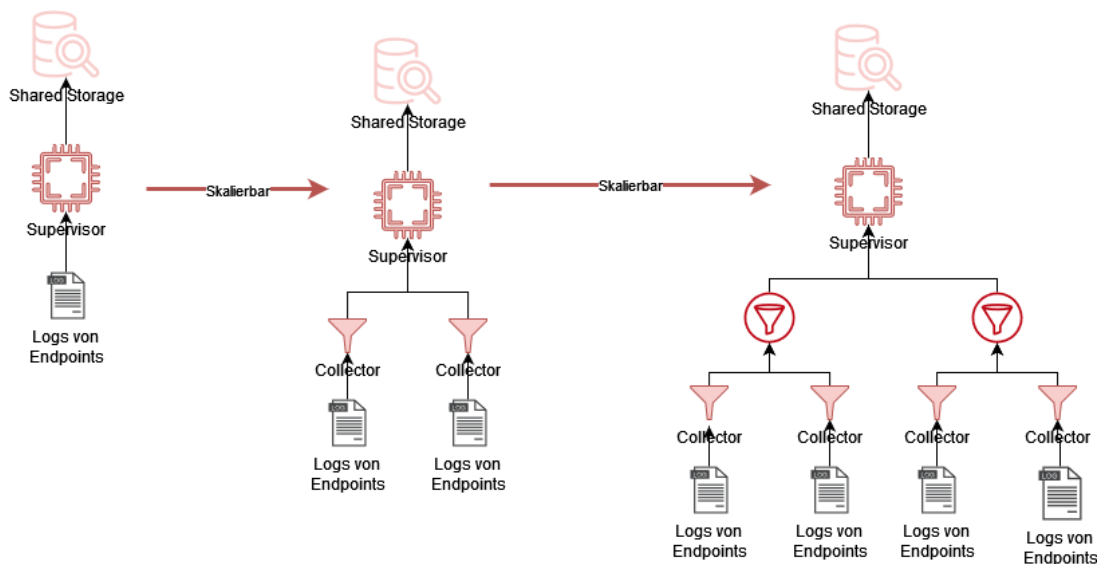


Abbildung 8: Skalierbare Architektur von FortiSIEM laut Fortinet (2020)

Auf der linken Seite der Abbildung 8 haben wir eine einfache Struktur, wo die Logdatei zu dem „Supervisor“ geschickt ist. Diese ist für die Analyse und Darstellung der Daten zuständig. Wenn die Architektur skaliert (mitte), kommen die „Collectors“. Diese tragen dazu bei, die Skalierbarkeit zu unterstützen, da sie Logdateien aus verschiedenen Quellen empfangen und normalisieren. Auf weitere Erweiterung kommen dann die „Workers“, die die Datenanalyse durchführen und für die Database zuständig ist (Fortinet, 2018).

(Ramírez Tomás, 2018) behauptet, dass FortiSIEM eine schnelle Erkennung von Angriffen bietet und über Network Operations Center (NOC) Funktionalität verfügt, wie Netzmanagement. Wie andere SIEMs Lösungen, biete FortiSIEM die folgenden Funktionalitäten: Datensammlung und Normalisierung, Daten Zusammenhang, Generierung von Berichten, Warnmeldungen, Datenauswertung.

### 2.1.5. Elastic Stack

Elastic Stack stammt aus der Verbindung von drei Tools: Elasticsearch, Logstash und Kibana. Erstes ist eine Such- und Analyse-Maschine. Das Zweite ist eine serverseitige Anwendung zur Datenverarbeitung, -Weiterleitung und Sammlung von Logdateien. Schließlich Kibana ist eine Abfragesprache dafür zuständig, Daten zu filtern und visuelle Darstellungen in einem Grafik-Format auszugeben (packt, 2019). Von diesen drei Tools Logstash ist das einzige Open Source (elastic, 2021). Obwohl die anderen zwei kostenlos verwendet werden können, gehören sie nicht zu der Open Source Kategorie (Open Source Initiative, 2007). Dieses Tool besitzt viele Eigenschaften einer SIEM-Lösung und wird von vielen SOC verwendet, ist aber für viele Experten, kein SIEM für sich, da es über keine Warnmeldungssystem, Daten Zusammenhang und Vorfälleverwaltung verfügt (Miller, 2021). Diese und anderen Funktionalitäten lassen sich aber durch Plugins integrieren.

Die nächste Abbildung, 9, stellt die Architektur von Elastic Stack mit ihren integrierten Elementen dar:

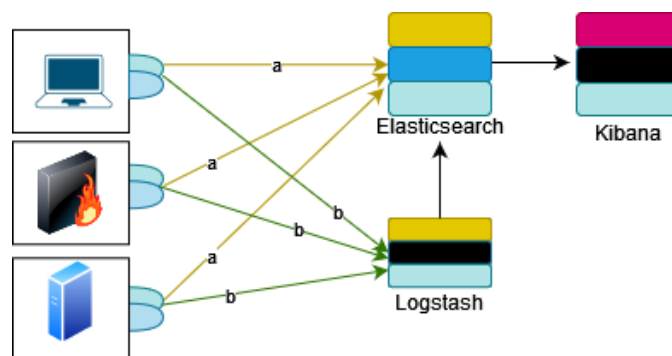


Abbildung 9: Integration zwischen Elasticsearch, Logstash und Kibana laut packt (2019)

Die Beats auf der Abbildung sind an der Endpoints installiert und leiten Daten entweder zu Elasticsearch (a) oder zu Logstash (b) weiter. In Elasticsearch werden die Daten nach Muster mithilfe der Abfragesprache Query Domain Specific Language (Query DSL)s gesucht. In Logstash werden die Daten verarbeitet, gespeichert und weitergeleitet. Schließlich ist Kibana für die graphische Darstellung über die GUI zuständig (Jain, 2018).

In (Advani et al., 2020) wird über die Log Analyse-Funktionalitäten von Elastic Stack und die Unterstützung bei Normalisierung und Indexierung von Daten für eine lesbare Ausgabe recherchiert. Die Skalierbarkeit wurde in der Studie von (Wang et al., 2019) erwähnt, wo Elastic Stack für Wi-Fi Logging eingesetzt wurde.

Die offizielle Dokumentation von Elastic Stack beschreibt, dass die Anwendung folgende Funktionalitäten besitzt (elastic, 2022):

- Datensuche, -Normalisierung, -Analyse und
- Speicherung
- visuelle Ausgabe

Die nächste Abbildung, 10 zeigt laut der offiziellen Dokumentation die Aufteilung der Funktionalitäten pro Element von Elastic Stack:

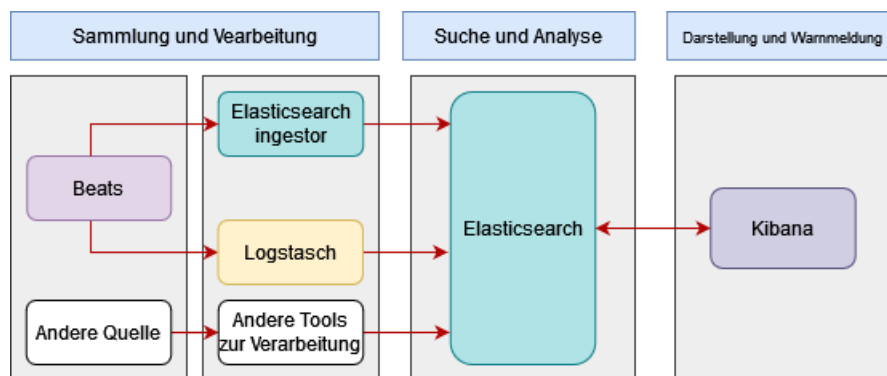


Abbildung 10: Aufteilung der Funktionalitäten zwischen den Komponenten

Die aufgeteilte Struktur auf der Abbildung 10 hat die folgende Komponenten: die „Ingestor“ für das Hinzufügen, die Sammlug und die Anpassung des Inhalts der Logdateien; die Speicherung, wo die Daten analysiert werden und schließlich der „Verbrauchen“, wo die Darstellung und die Warnmeldungen stattfinden (elastic, 2022).

Die wissenschaftliche Publikation über Elastic Stack ist vielfältiger als bei anderen recherchierten Tools. Die Mehrheit von denen sich eher mit dem Logging als mit den SIEM-Eigenschaften der Anwendung beschäftigt.

#### **2.1.6. Grafana**

Von allen recherchierten Lösungen ist Grafana die Einzige, die weder SIEM noch Log-Analyse-Tools ist. Grafana wird als Plattform für Visualisierung von Daten beschrieben. Mit dem Tool ist es möglich eine Graphik zu erstellen und Meldungen zu generieren. Das Ziel der Anwendung ist, Information in einer einfachen und verständlichen Art und Weise zur Verfügung zu stellen (redhat, 2022).

Im Jahr 2014 wurde Grafana von der Firma Grafana Labs veröffentlicht. Ursprünglich sollte Grafana ein einfacheres Bearbeitungstool für Grafiken sein und ermöglichen, Datenanfragen unkomplizierter zu machen. Es ist auch möglich das Grafana mithilfe von Plugins zu erweitern (Ödegaard, 2019).

In der Webseite betont der Anbieter, dass Grafana die Zentralisierung und Zugang von Daten vereinfachen. Alle Art von Daten lassen sich analysieren und darstellen, von der Leistung von Anwendungen bis Verkaufsdaten und Krankheitsfällen. Die Anwendung soll auch den Zusammenhang von Daten ermöglichen, um wichtige Informationen herauszunehmen (Grafana Labs, 2016a). Grafana ermöglicht die Aufrufe der Daten mithilfe von verschiedenen Abfragesprache, je nachdem mit welchen Datenquelle verwendet wird. Das Tool bietet auch eine eigene Funktionalität, um Warnmeldung zu generieren oder lässt sich mit externen Tools, wie Alertmanager von Prometheus, integrieren.

Grafana ist auch mit dem Logging Tool Loki und Promtail integriert. Promtail ist für Sammlungen der Logdateien und Weiterleitung an Loki zuständig während Loki sich um die Speicherung, Indexierung und Abfrage kümmert.

Die Architektur von Loki besteht aus folgenden Komponenten: „distributor“, „ingester“ und „querier“, wie auf der Abbildung 11 dargestellt:

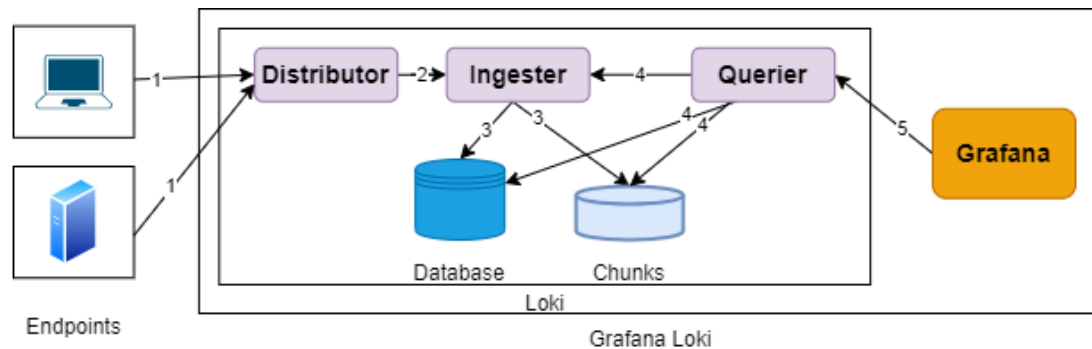


Abbildung 11: Architektur von Loki Veeramachaneni (2018)

Auf der Abbildung 11 empfängt „distributor“ die Streams von den (1) Endpoints und überprüft ihre Richtigkeit im Bezug auf den Zeitstempel und Länge der Logzeile. In dem „distributor“ wird auch die Aufnahmenrate konfiguriert auch die Aufnahmenrate. Der „distributor“ leitet die Streams zum (2) „ingester“ weiter, wo dieser die Daten in kleinen Datenblöcken (3) speichert. Diese Daten werden wiederum in der Database (3) je nach „label“ aufgenommen werden. Dieses Verfahren soll Skalierbarkeit und Fehlertoleranz ermöglichen. Schließlich beschäftigt sich der „querier“ mit der Abfragen (4) in der Abfragesprache LogQL. Der „querier“ holt Daten sowohl von „ingester“ als auch von der Database. Sobald dieses Verfahren fertig ist, kann Grafana Frontend nach diesen Daten (Grafana Labs, 2021b) und (Veeramachaneni, 2018) fragen.

Promtail wird an jeden Endpoint installiert und er schickt als Stream zu Loki. Diese Streams werden dann in Loki mit Labels (Schlüssel-Wert-Paar) identifiziert. Jeder Stream bezieht sich auf eine Gruppe von Logdateien. Laut Grafana Labs (2016b) bleibt der



Inhalt der Logdateien ohne Indexierung, um Effizienz bei der Verwaltung des Inhalts zu gewinnen, im Vergleich zu anderen Tools, wie Elastic Stack, wo der gesamte Inhalt indexiert wird (Anand, 2023). Bei Loki werden die Metadata, wie Zeitstempel oder andere kundenspezifische Labels, dann indexiert.

Für eine optimale Nutzung wird von Grafana empfohlen, wenig „labels“ zu benutzen, um eine Eskalation des Speicherbedarfs zu vermeiden Welch (2020). Die Abbildung 12 zeigt den Eskalationseffekt, der durch die Nutzung von „labels“ entsteht:

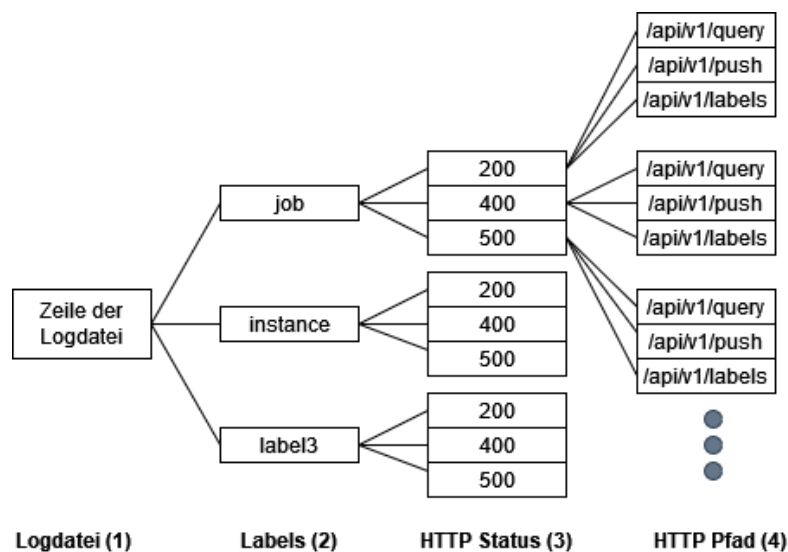


Abbildung 12: Eskalation bei Verwendung von „labels“ laut Welch (2020)

Auf Abbildung 12 haben wir vier Ebenen. Die erste ist die Zeile der Logdatei (1), die zweite sind die vom Benutzer definierten „labels“ (2), und die dritte und vierte beziehen sich auf die Antwort (3) und die verwendete HTTP-Anfrage (4), um nach Inhalten zu suchen, sie hinzuzufügen und zu indizieren. Aus einer Zeile der Logdatei haben wir drei kundendefinierte „labels“ definiert, die wiederum drei potenzielle Zustände haben. Aus diesen drei Zuständen haben wir drei mögliche HTTP-Pfade. Aus drei „labels“ ergibt sich insgesamt 27 Streams, um die Zeile zu lesen, zu indizieren und zu speichern. Dies kann laut Welch (2020) zu einer Beeinträchtigung der Leistung führen. Die folgende

mathematische Formel zeigt das Ergebnis unserer Beschreibung:

```
Labels = 3
Anfrage = 3
HTTP-Antworte = 3
Total Streams = Labels x Anfrage x HTTP-Antworte
Total Streams = 3 x 3 x 3
Total Streams = 27
```

Promtail kann aber Logdateien nur zur Grafana Loki oder zu einem anderen Promtail Instanz schicken. In der Konfigurationsdatei von Promtail kann die Häufigkeit, in der nach neuem Inhalt in der Logdateien gesucht wird, konfiguriert werden. Auf Abbildung 13 wird die Verbindung zwischen Promtail und Grafana Loki dargestellt (Grafana Labs, 2022a):

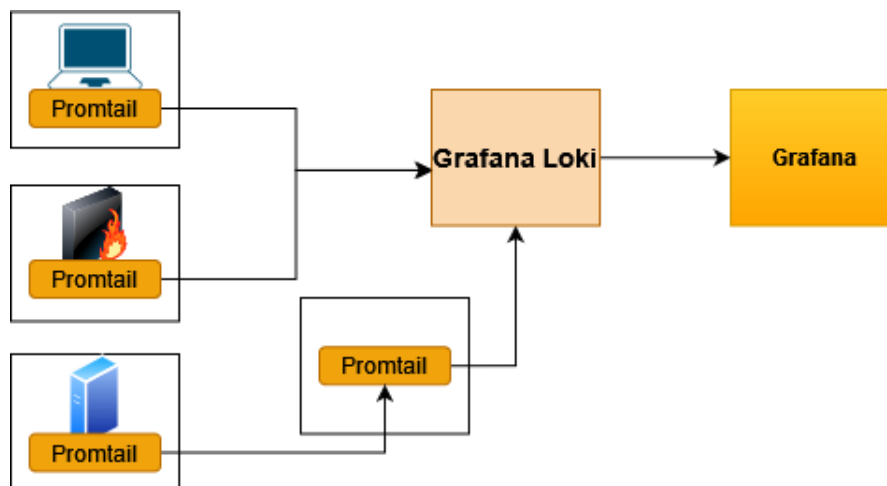


Abbildung 13: Integration von Log-Quellen mit Promtail (links), Loki (mitte) und Grafana (rechts)

Die wissenschaftlichen Literatur über Grafana konzentriert sich eher auf die Anwendung des Tools für die grafische Darstellung von Daten als für ihre Nutzung in dem Sicherheitsbereich. Eine Recherche, z.B., wollte das Ergebnis von der Überwachung von Cloud-basierten Systemen, von Netzwerkaktivitäten und von Netzwerkverkehr mithilfe

von Grafana darstellen (Manases and Zinca, 2022). Die wissenschaftliche Recherche über die Implementierung und Integration von Grafana mit anderen Tools zum Sicherheitszweck ist neu und bietet deshalb viele Perspektive für das Weiterlernen an.

## 2.2. Auswahlkriterien

Der Erwerb einer SIEM Lösung würde wahrscheinlich die Anforderungen dieser wissenschaftlichen Arbeit decken. Da solche Lösungen meistens (oder alle) Proprietär und kostenpflichtig sind, legten wir als Auswahlkriterium fest, dass die Anwendungen für unsere Arbeit Open Source sein müssen. Von allen analysierten Tools sind die Kombinationen Grafana, Loki, Promtail und Kibana, Elasticsearch, Logstash am geeignetsten für unsere Auswahl. In der Tabelle 1 vergleichen wir beiden dieser Kombinationstool (Anand, 2023):

| <b>Grafana</b> | <b>Elastic Stack</b> | <b>Gemeisame Rolle</b>                           |
|----------------|----------------------|--|
| Grafana        | Kibana               | Frontend, graphische Darstellung                 |
| Loki           | Elasticsearch        | Backend, Verarbeitung des Inhalts der Logdateien |
| Promtail       | Logstash             | Backend, Sammlung von Logdateien                 |

Tabelle 1: Gemeinsamkeiten zwischen den Kombinationen Grafana, Loki, Promtail und Kibana, Elasticsearch, Logstash

Die nächste Tabelle, 2, fasst die Unterschieden zwischen den Tools zusammen:

| <b>Eigenschaft</b>   | <b>Grafana, Loki und Promtail</b> | <b>Kibana, Elasticsearch und Logstash</b> |
|--|-----------------------------------|---|
| Opensource   | ja                                | nicht im Elasticsearch                    |
| Dokumentation von Promtail und Logstash (Kray, 2022)                       | einfach                           | Umfangreich                               |
| Entwickelt spezifisch für Verarbeitung von Logdateien (Yigal, 2013)        | nein                              | ja  |
| Komplexität bei der Installation und Einstellung (Better Stack Team, 2023) | niedrig                           | hoch                                      |

| <b>Eigenschaft</b>   | <b>Grafana, Loki und Promtail</b>                    | <b>Kibana, Elasticsearch und Logstash</b>             |
|--|--|---|
| Komplexität bei der Installation und Einstellung (Better Stack Team, 2023) | niedrig  | hoch  |
| Graphische Darstellung   | ja   | ja  |
| Dashboards und Graphik   | ja   | ja  |
| Eigene Abfragesprache  | abhängig von der Datenquelle (Grafana), LogQL (Loki) | DSL   |
| Indexierung  | nur Metadata (Loki)                                  | vollständig (Elasticsearch)                           |
| Dekomprimierung von Datei  | ja (Promtail)  | ja (Logstash)   |
| Integration mit anderen Database Tools                                     | ja   | nur mit Elasticsearch                                 |
| Weiterleitung des Loginhalts   | nur an Promtail und an Loki (Promtail)               | umfangreiche Integration mit anderen Tools (Logstash) |
| Integriertes Tool für Generierung von Warnmeldungen (Yigal, 2013)          | ja (Alerting)  | von Plugins abhängig                                  |

Tabelle 2: Unterschiede zwischen den Kombinationen Grafana, Loki, Promtail und Kibana, Elasticsearch, Logstash

Grafana erfüllt die folgende Voraussetzungen für unsere Auswahl: 100% Open Source, einfacher Installation und Einstellung, integriertes Alerting Tool und breiter Kompatibilität (außer Promtail). Da Grafana nicht spezifisch für Logdateien konzipiert wurde (Yigal, 2013), verlangt die Einstellung spezifische Anpassungen, um unseren Bedürfnisse vollständig zu erfüllen.

In den nächsten Kapiteln beschäftigen wir mit der Integration dieser Tools, um eine ähnliche SIEM Lösung zu präsentieren. Wir beschreiben, wie Angriffe anhand der Taktiken, Techniken, Prozeduren (TTP) der Mitre ATT&CK Matrix erkannt werden können. Wir simulieren zwei Angriffe, um Logdateien zu generieren. Danach beschäftigen wir uns mit der Installation, Einstellungen und Sammlungen von Logdateien in Promtail, Grafana und Loki. Nachdem die Grundfunktionalitäten eingerichtet sind und einwand-

frei funktionieren, untersuchen wir Regelsätze für die Erkennung und Warnmeldung von potenziellen Angriffe. Unser Ziel ist Grafana, Loki und Promtail so einzustellen, dass es in der Lage ist, die Muster dieser Angriffe zu erkennen und darüber zu berichten.

### 3. Implementierung

In diesem Kapitel geht es um die Implementierung und den Aufbau von Grafana, um Cyberangriff mithilfe der Mitre ATT&CK Matrix zu erkennen. Das Labor wird mit einem Container und virtuellen Maschine (VM) aufgebaut, wie im Diagramm in der Abbildung 14 dargestellt.

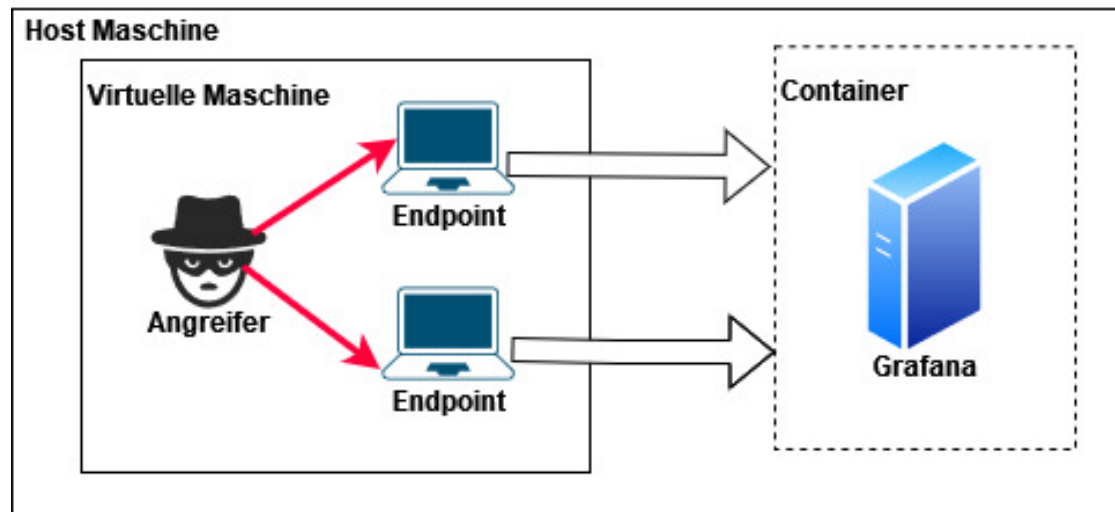


Abbildung 14: Aufbau unseres Arbeitslabors  
Quelle: Eigene Quelle

Unser Aufbau verfolgt folgende Ziele: die Aufnahme und Anpassung von Logdateien für Grafana, die Mustererkennung für ausgewählte Cyberangriffe und schließlich die Erstellung von Warnmeldungen für die Endnutzer, damit sie geeignete Sicherheitsmaßnahmen ergreifen können.

Der gezielte Ablauf unserer Arbeit ist in der Abbildung 15 dargestellt:

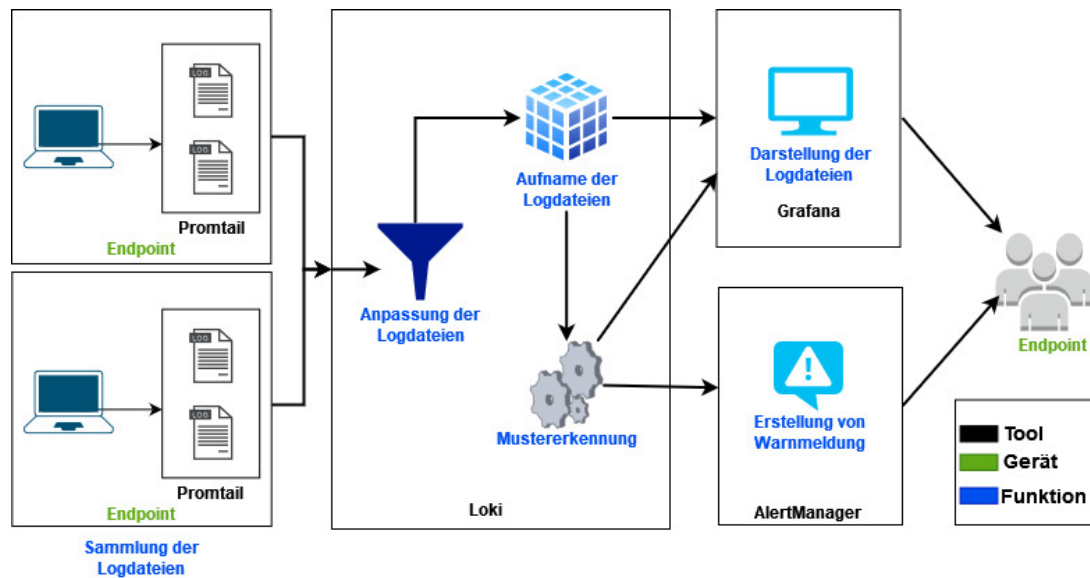


Abbildung 15: Erwarteter Ablauf der Sammlung der Logdateien bis zur Warnmeldung  
Quelle: Eigene Quelle und (Grafana Labs, 2018)

### 3.1. Angriffserkennung anhand der Mitre ATT&CK Matrix

Es gibt verschiedene Methoden und Frameworks, die von SOC-Teams verwendet wird, um Cyberangriffe zu vermeiden, zu erkennen und zu unterbrechen. Da sich die Richtlinien und Schwerpunkte dieser Frameworks und Methoden unterscheiden können und somit unterschiedliche Anforderungen an den Aufbau unserer Struktur stellen könnten, entschieden wir uns für die Mitre ATT&CK Matrix, insbesondere da dieses Framework auch in Splunk integriert ist.

Die Mitre ATT&CK Matrix hat folgenden Zwecke (MITRE ATT&CK, 2018b):

- Erkennung und Analyse von Angriffstechnik
- strukturierte Datensammlung über Bedrohungen
- Emulieren von Cyberangriffe für die Anwendung an Angriffsübungen
- Systemhärtung und Verbesserung der Verteidigungsmaßnahmen

Die Matrix ermöglichen Unternehmen und SOC-Teams umfassende Möglichkeiten, um ihre Ressourcen zu schützen und ihr Fachwissen im Bereich der Cybersicherheit zu erweitern (Hazel, 2021). In dieser Arbeit konzentrieren wir uns auf die Entwicklung und Implementierung einer Methode zur automatischen Erkennung und Analyse von Angriffstechniken in Grafana.

Die Mitre ATT&CK Matrix ist auf Taktiken, Techniken, Prozeduren (TTP) basiert. Angriffe, Gegenmaßnahmen und Erkennung werden nach TTP definiert. Die Matrix besteht aus 14 Taktiken, zu denen jeweils Techniken gehören, die wiederum in Sub-Techniken unterteilt sind. Jede Sub-Technik wird mit Beispielen, Härungsmaßnahmen und Erkennungsregeln beschrieben. Die nächste Abbildung, 16, zeigt, wie die TTP aufgebaut werden:

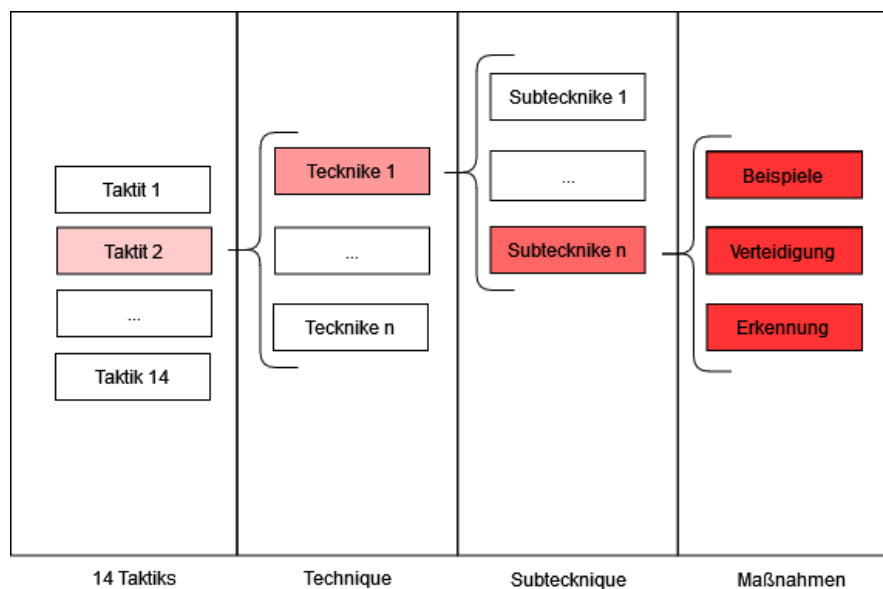


Abbildung 16: Struktur der Mitre ATT&CK Matrix

Quelle: Eigene Quelle und (MITRE ATT&CK, 2018b)



### 3.2. Auswahl des Angriffes

In dieser Arbeit beschäftigen wir uns mit der Taktik „Zugang zu Anmeldedaten“ und deren Technik Brute-Force Angriffe. Diese Technik ist in vier Untertechniken aufteilt:

In dieser Arbeit beschäftigen wir uns mit der Taktik „Zugang zu Anmeldedaten“ und ihrer Technik „Brute-Force Angriffe“. Diese Technik ist in vier Untertechniken unterteilt:

- Brute-Force Angriffe
- Entschlüsselung von Hashwerte
- *Password Stuffing*
- *Password Spraying*

Da unser Ziel hier ist, Grafana zu verwenden, um Angriffe zu erkennen, haben wir uns für einen einfachen und reproduzierbaren Angriff entschieden, der wenige Ressourcen erfordert. In diesem Fall kann ein Brute-Force Angriffe mit zwei VMs problemlos durchgeführt werden. Für diesen Angriff verwenden wir die Sub-Technik Erraten von Anmeldedaten und *Password Stuffing*, da sie ähnliche Erkennungsmethoden aufweisen. Da unser Fokus bei dieser wissenschaftlichen Arbeit auf der Angriffserkennung schließen andere Maßnahmen wir hierbei aus.

Die nächste Abbildung, 17, zeigt den Umfang unseres Implementationsversuchs mithilfe von Mitre ATT&CK:

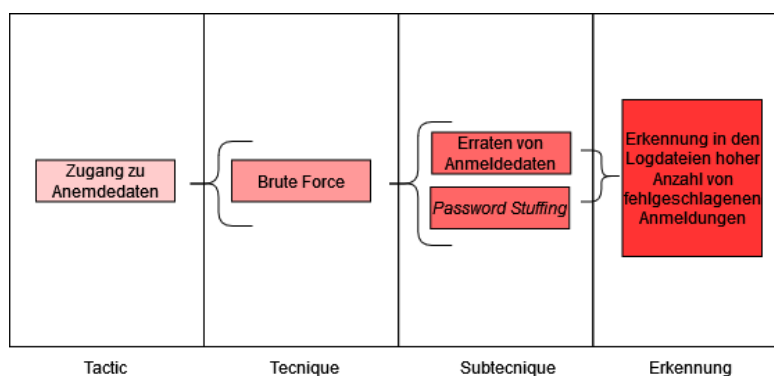


Abbildung 17: Taktiken, Techniken, Prozeduren (TTP) für unseren Angriff  
Quelle: Eigene Quelle und (MITRE ATT&CK, 2020)

### 3.3. Installation und Generierung von Logdateien

In diesem Abschnitt konzentrieren wir uns auf die folgenden Punkte:

1. Einrichtung von VMs für das Opfersystem und den Angreifer
2. Simulation des Angriffs zur Erzeugung von Logdateien
3. Installation und Konfiguration von Grafana Loki und Promtail mit Container
4. Weiterleitung der Logdateien an Grafana

Die Installation und Verwendung können entweder über eine grafische Benutzeroberfläche (GUI) des Betriebssystems oder über die Kommandozeile durchgeführt werden. In dieser Arbeit verwenden wir die Kommandozeile.

#### 3.3.1. Einrichtung der VMs für Opfersystem und Angreifen

Die beiden VMs sind eine „Kali virtuellen Maschine (VM)“ und „Ubuntu Server 22.04.2“ mit standardmäßigen Einstellungen. Beide Maschinen wurden entsprechend ihrer jeweiligen Dokumentation installiert (Kali, 2019) und (Ubuntu, 2023a).

Für das Opfersystem haben wir uns für die Passwörter „qwertz“ und „password“ entschieden. Laut einer Umfrage gehören diese Passwörter zu den zehn am häufigsten verwendeten Passwörtern in Deutschland (silicon.de, 2022). Für die Durchführung des Password Spraying haben wir folgende Benutzername-Passwort Kombinationen erstellt:

|                  |                |
|------------------|----------------|
| Opfersystem 1    | Opfersystem 2  |
| admin:123456     | bob:hallo      |
| user1:password   | master:alice   |
| user2:abc123     | hans:daniel    |
| user3:qwertyuiop | bruno:super123 |

### 3.3.2. Generierung von Logdateien mit der Angriffssimulation

Für den Angriff verwenden wir folgende Tools:

- Secure Shell Protocol (SSH)
- Hydra

In diesem Szenario sendet Hydra gleichzeitig mehrere Authentifizierungsversuche an das Opfersystem, um eine SSH-Verbindung herzustellen. Das Tool verwendet ein sogenanntes Wörterbuch mit verschiedenen Einträgen, die als Passwörter dienen. Für unseren Test benutzen wir die bekannte Rockyou-Wörterbuch.

Die Abbildung 18 zeigt, wie das Password Stuffing abläuft:

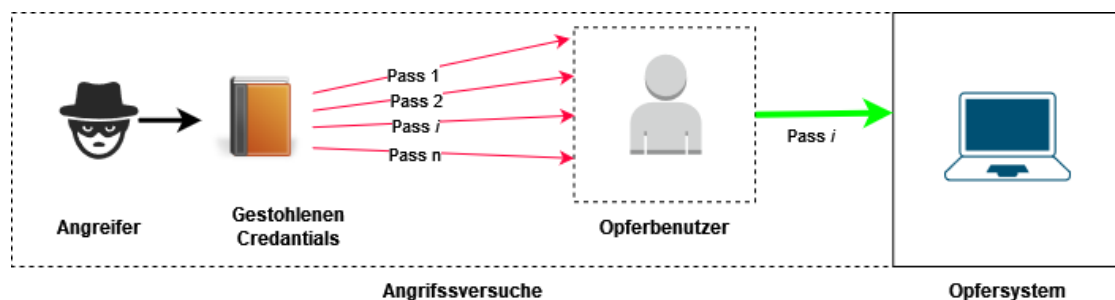


Abbildung 18: Darstellung von *Password Stuffing* nach Ba et al. (2021)

In diesem Angriff versucht der Angreifer sich mit einem Konto anzumelden, indem er mit vielen Passwörter aus dem Wörterbuch probiert, bis eins richtige gefunden ist. Es können mehrere Anmeldeversuche geschickt werden, bis eine von denen funktioniert.

Password Stuffing wurde mit folgendem Kommando durchgeführt (Kali, 2022a):

```
hydra -l [Benutzername] -P rockyou.txt [Opfersystem] ssh -V -t 4
```

# Erklärung

- l: Spezifikation des Benutzernamens, den wir angreifen
- P: Auswahl der Datei mit bekannten Passwörtern
- ssh: Auswahl der Anwendung, die wir angreifen
- V: Ausführliche Ausgabe über Versuche, Fehler und Erfolg
- t 4: Anzahl von gleichzeitigen Verbindungen

Die Abbildungen 19 und 20 zeigen ein Teil der Ausgabe von Hydra während der Ausführung von Password Stuffing gegen das Opfersystem1 und Opfersystem2:

```
File Actions Edit View Help
[ATTEMPT] target 10.0.2.4 - login "test" - pass "preciosa" - 606 of 14344399 [child 3] (0/0)
[ATTEMPT] target 10.0.2.4 - login "test" - pass "shopping" - 607 of 14344399 [child 2] (0/0)
[ATTEMPT] target 10.0.2.4 - login "test" - pass "flores" - 608 of 14344399 [child 0] (0/0)
[ATTEMPT] target 10.0.2.4 - login "test" - pass "mariah" - 609 of 14344399 [child 1] (0/0)
[ATTEMPT] target 10.0.2.4 - login "test" - pass "matrix" - 610 of 14344399 [child 3] (0/0)
[ATTEMPT] target 10.0.2.4 - login "test" - pass "isabella" - 611 of 14344399 [child 2] (0/0)
[ATTEMPT] target 10.0.2.4 - login "test" - pass "tennis" - 612 of 14344399 [child 1] (0/0)
[ATTEMPT] target 10.0.2.4 - login "test" - pass "trinity" - 613 of 14344399 [child 3] (0/0)
[ATTEMPT] target 10.0.2.4 - login "test" - pass "jorge" - 614 of 14344399 [child 1] (0/0)
[ATTEMPT] target 10.0.2.4 - login "test" - pass "sunflower" - 615 of 14344399 [child 3] (0/0)
[ATTEMPT] target 10.0.2.4 - login "test" - pass "kathleen" - 616 of 14344399 [child 2] (0/0)
[ATTEMPT] target 10.0.2.4 - login "test" - pass "bradley" - 617 of 14344399 [child 1] (0/0)
[ATTEMPT] target 10.0.2.4 - login "test" - pass "cupcake" - 618 of 14344399 [child 2] (0/0)
[ATTEMPT] target 10.0.2.4 - login "test" - pass "hector" - 619 of 14344399 [child 1] (0/0)
[ATTEMPT] target 10.0.2.4 - login "test" - pass "martinez" - 620 of 14344399 [child 0] (0/0)
[ATTEMPT] target 10.0.2.4 - login "test" - pass "elaine" - 621 of 14344399 [child 0] (0/0)
[ATTEMPT] target 10.0.2.4 - login "test" - pass "robbie" - 622 of 14344399 [child 0] (0/0)
```

Abbildung 19: Ausgabe von *Password Stuffing* gegen Opfersystem1

```
Hydra (https://github.com/vanhauser-thc/thc-hydra) starting at 2023-04-14 10:05:29
[DATA] max 4 tasks per 1 server, overall 4 tasks, 23 login tries (l:1/p:23), ~6 tries per task
[DATA] attacking ssh://10.0.2.5:22/
[ATTEMPT] target 10.0.2.5 - login "administrator" - pass "" - 1 of 23 [child 0] (0/0)
[ATTEMPT] target 10.0.2.5 - login "administrator" - pass "123456" - 2 of 23 [child 1] (0/0)
[ATTEMPT] target 10.0.2.5 - login "administrator" - pass "password" - 3 of 23 [child 2] (0/0)
[ATTEMPT] target 10.0.2.5 - login "administrator" - pass "123456789" - 4 of 23 [child 3] (0/0)
[22][ssh] host: 10.0.2.5 login: administrator password: password
1 of 1 target successfully completed, 1 valid password found
Hydra (https://github.com/vanhauser-thc/thc-hydra) finished at 2023-04-14 10:05:31
```

Abbildung 20: Ausgabe von *Password Stuffing* gegen Opfersystem2

Auf den Abbildungen 19 und 20 sehen wir in rot markiert, dass der Angriff den Benutzernamen „test“ im Opfersystem1 und „Administrator“ Opfersystem2 zielt. In grün werden

die verschiedenen Passwörter aus Rockyou-Wörterbuch verwendet. Auf der Abbildung 20 wird das gefundene Passwort grün geschrieben.

Unser nächster Angriff, Password Spraying, ist in der Abbildung 21 dargestellt:

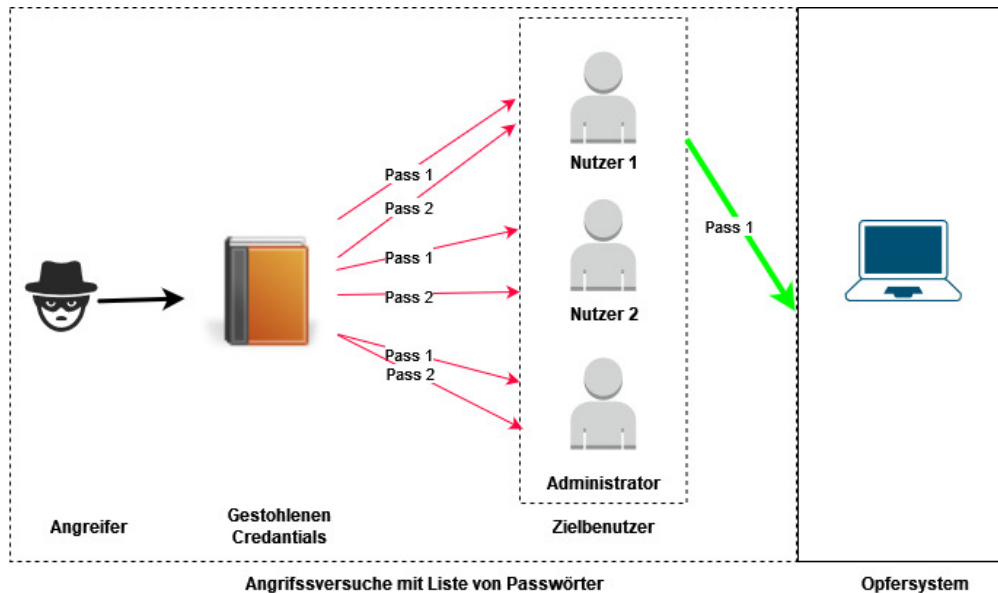


Abbildung 21: Darstellung von *Password Spraying*  
Quelle: Eigene Quelle und (Swathi, 2022)

Aus der Abbildung 21 sehen wir, dass bei Password Spraying weniger Passwörter im Vergleich zum Password Stuffing verwendet werden. In diesem Fall werden gegen mögliche viele existierenden Benutzername versucht. Hier will der Angreifer Kontosperrungen vermeiden und gegenüber Sicherheitsmaßnahmen Unauffällig bleiben.

Für diesen Angriff benutzen wir folgendes Kommando:

```
hydra -L username2.txt -P passwoerter.txt [Opfersystem2] ssh -V -t 4  
-L: Auswahl der Datei mit gefunden Benutzernamen
```

In diesem Fall gehen wir davon aus, dass der Angreifer einige oder alle Benutzernamen bereits kennt. Da bei diesem Angriff weniger Anmeldeversuche pro Nutzer durchgeführt werden, verwenden wir eine selbst erstellte Datei mit weniger Passwörtern als die Rocky-

ou-Datei. Unsere Datei enthält die am häufigsten verwendeten Passwörter in Deutschland (silicon.de, 2022).

Die Abbildungen 22 und 23 zeigen die Ausgabe von Password Spraying:

```
[22][ssh] host: 10.0.2.4 login: admin password: 123456
[ATTEMPT] target 10.0.2.4 - login "user1" - pass "qwertz" - 5 of 16 [child 2] (0/0)
[ATTEMPT] target 10.0.2.4 - login "user1" - pass "qwertuzu" - 6 of 16 [child 0] (0/0)
[ATTEMPT] target 10.0.2.4 - login "user1" - pass "123456" - 7 of 16 [child 3] (0/0)
[ATTEMPT] target 10.0.2.4 - login "user1" - pass "password" - 8 of 16 [child 1] (0/0)
[22][ssh] host: 10.0.2.4 login: user1 password: password
[ATTEMPT] target 10.0.2.4 - login "user2" - pass "qwertz" - 9 of 16 [child 1] (0/0)
[ATTEMPT] target 10.0.2.4 - login "user2" - pass "qwertuzu" - 10 of 16 [child 2] (0/0)
[ATTEMPT] target 10.0.2.4 - login "user2" - pass "123456" - 11 of 16 [child 3] (0/0)
[ATTEMPT] target 10.0.2.4 - login "user2" - pass "password" - 12 of 16 [child 0] (0/0)
[ATTEMPT] target 10.0.2.4 - login "user3" - pass "qwertz" - 13 of 16 [child 1] (0/0)
[ATTEMPT] target 10.0.2.4 - login "user3" - pass "qwertuzu" - 14 of 16 [child 2] (0/0)
[ATTEMPT] target 10.0.2.4 - login "user3" - pass "123456" - 15 of 16 [child 3] (0/0)
[ATTEMPT] target 10.0.2.4 - login "user3" - pass "password" - 16 of 16 [child 0] (0/0)
1 of 1 target successfully completed, 2 valid passwords found
Hydra (https://github.com/vanhauser-thc/thc-hydra) finished at 2023-04-08 12:58:06
```

Abbildung 22: Ausgabe von *Password Spraying* in Kali Linux gegen Opfersystem1

```
[ATTEMPT] target 10.0.2.5 - login "hans" - pass "master" - 16 of 115 [child 3] (0/0)
[ATTEMPT] target 10.0.2.5 - login "hans" - pass "1234" - 57 of 115 [child 2] (0/0)
[ATTEMPT] target 10.0.2.5 - login "hans" - pass "qwertz" - 58 of 115 [child 0] (0/0)
[ATTEMPT] target 10.0.2.5 - login "hans" - pass "hallo123" - 59 of 115 [child 3] (0/0)
[ATTEMPT] target 10.0.2.5 - login "hans" - pass "daniel" - 60 of 115 [child 2] (0/0)
[22][ssh] host: 10.0.2.5 login: hans password: daniel
[ATTEMPT] target 10.0.2.5 - login "pacoc" - pass "" - 70 of 115 [child 2] (0/0)
[ATTEMPT] target 10.0.2.5 - login "pacoc" - pass "123456" - 71 of 115 [child 2] (0/0)
[22][ssh] host: 10.0.2.5 login: pacoca password: 123456
[ATTEMPT] target 10.0.2.5 - login "test" - pass "" - 93 of 115 [child 2] (0/0)
[ATTEMPT] target 10.0.2.5 - login "test" - pass "123456" - 94 of 115 [child 2] (0/0)
[STATUS] 94.00 tries/min, 94 tries in 00:01h, 21 to do in 00:01h, 4 active
[ATTEMPT] target 10.0.2.5 - login "test" - pass "password" - 95 of 115 [child 0] (0/0)
[ATTEMPT] target 10.0.2.5 - login "test" - pass "123456789" - 96 of 115 [child 3] (0/0)
[ATTEMPT] target 10.0.2.5 - login "test" - pass "12345" - 97 of 115 [child 2] (0/0)
[ATTEMPT] target 10.0.2.5 - login "test" - pass "hallo" - 98 of 115 [child 0] (0/0)
```

Abbildung 23: Ausgabe von *Password Spraying* in Kali Linux gegen Opfersystem2

Die Abbildungen 22 und 23 zeigen die verschiedenen Benutzernamen (rot markiert) aber wenige Passwörter pro Nutzer (grün markiert). Auf beiden Abbildungen werden die gefundenen Passwörter grün geschrieben.

Nach den Durchführungen dieser Simulationen generierten wir drei Logdateien mit insgesamt 40 KB Größe.

### 3.3.3. Installation und Einrichtung von Grafana, Loki und Promtail

Für die Einrichtung haben wir sowohl offizielle Dokumentation von Grafana als auch auf externe Quellen zurückgegriffen, um die Einstellungen an unsere Umgebung anzupassen (Polinowski, 2019). In den Anhänge A und B befinden sich die heruntergeladenen originalen Konfigurationsdatei und die an unsere Umgebung angepasst. Diese Dateien benutzten wir für die Installation, Einstellung und Verwendung der Applikationen in Containers.

Für diesen ersten Test wurden die Logdateien des Opfersystems manuell auf den Container übertragen, da wir hier nur eine Instanz von Promtail verwendeten. Für unsere Arbeit nahmen wir die folgenden Versionen von den Anwendungen:

| Anwendung | Angewandte Version | Neuste Version |
|-----------|--------------------|----------------|
| Grafana   | 9.5.2              | 9.5.2          |
| Loki      | 2.8.2              | 2.4.1          |
| Promtail  | 2.8.2              | 2.8.2          |

Tabelle 3: Verwendete Versionen der Anwendungen

Quelle: (Grafana Labs, 2023b) und (Grafana Labs, 2023a)

Die Entscheidung, eine ältere Version für Loki zu wählen, basierte auf Recherchen im offiziellen Forum von Grafana Loki. Viele Nutzer berichteten von Problemen mit ihren Abfragen. In verschiedenen Kommentaren wurde vorgeschlagen, einige Werte in der Konfigurationsdatei von Loki anzupassen, um die Leistung der Anwendung zu verbessern. Diese Lösungen waren für die meisten Forenteilnehmer jedoch erfolglos. Die Mehrheit der Teilnehmer gab außerdem an, dass Versionen über 2.4.1 dasselbe Problem aufweisen, weshalb sie die Version 2.4.1 verwendet haben (itsnotv, 2022).

Nach der Ausführung des Kommandos ist die Anwendung benutzbar, wie in der Abbildung 24 dargestellt:

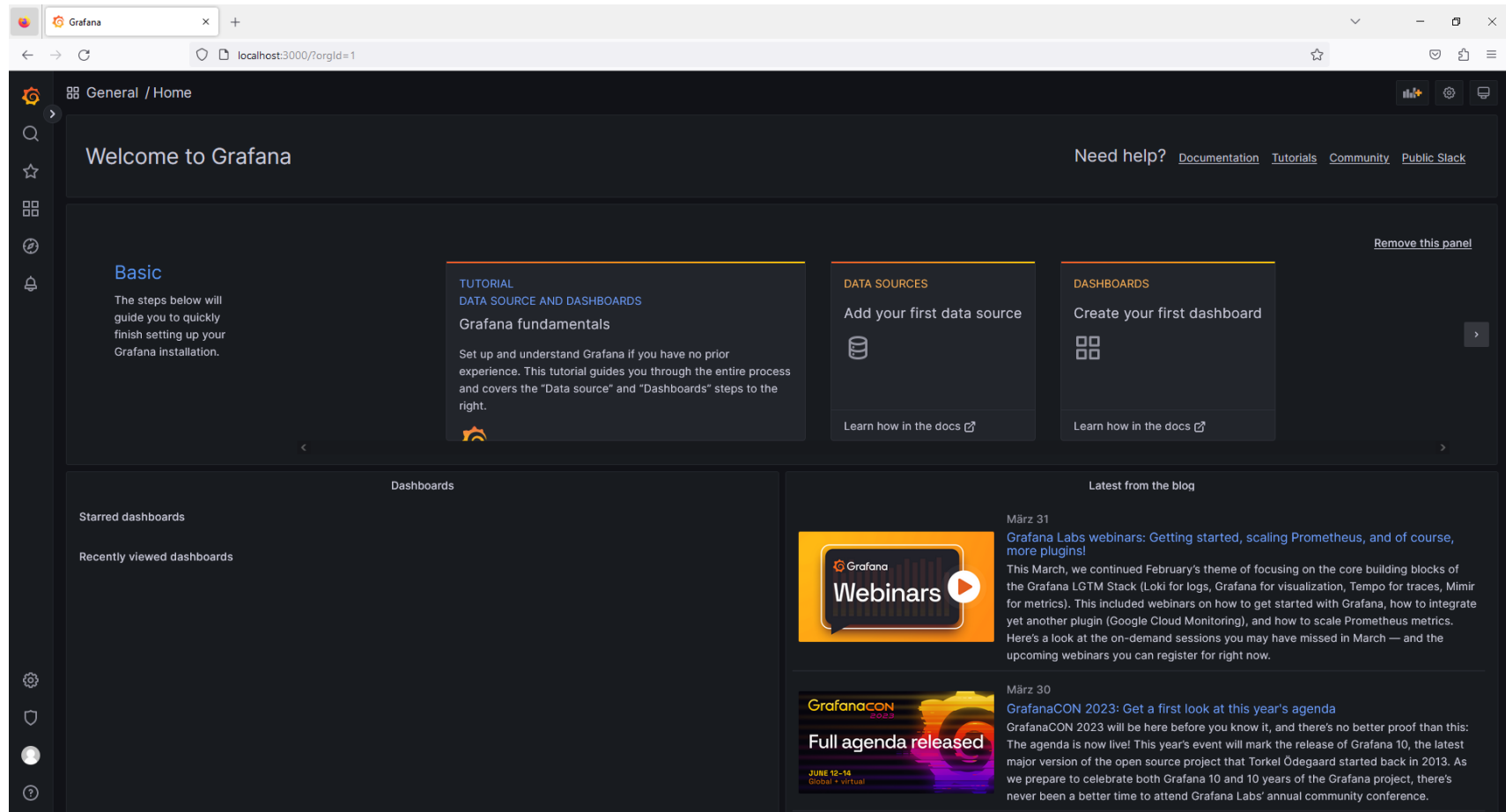


Abbildung 24: Screenshot der Willkommenseite von Grafana Loki  
Quelle: Eigene Quelle und (Grafana Labs, 2022a)



### 3.3.4. Weiterleitung der Logdateien zu Grafana

Grafana Loki bietet interne und externe Möglichkeiten Logdateien zu empfangen. Die internen beziehen sich auf Grafana Tools, während die externen unabhängige Methode von Grafana benutzen:

1. **interne Methode:**

- a) Promtail
- b) Grafana Agents

2. **externe Methode**

- a) Application Programming Interface (API)
- b) OpenTelemetry

In unserer Arbeit verwenden wir **Promtail**, der in einem Container läuft. Diese Instanz sendet die von uns ausgewählten Logdateien an Grafana und verarbeitet alle Dateien innerhalb eines sogenannten „jobs“. Promtail kann Logdateien nur zu Grafana Loki oder zu anderen Promtail-Instanz schicken (Grafana Labs, 2020e). Die Abbildung 13 auf der Seite 20 zeigt diese beschriebene Struktur.

In einer produktiven Umgebung ist die Installation von **Grafana Agents** auf jedem Endpoint eine andere Lösung, um Grafana Loki mit Logdateien zu füllen. Während Promtail Logdatei nur zu Loki schickt, kann Grafana Agents Logdateien zu Prometheus, OpenTelemetry und zu Tools von *Grafana Ecosystem*, wie Mimir, Tempo, Phlare, Loki und Grafana (Grafana Labs, 2022b).

Die nächste Abbildung, 25, zeigt den Kommunikationsfluss zwischen Grafana Agents und die integrierten Tools:

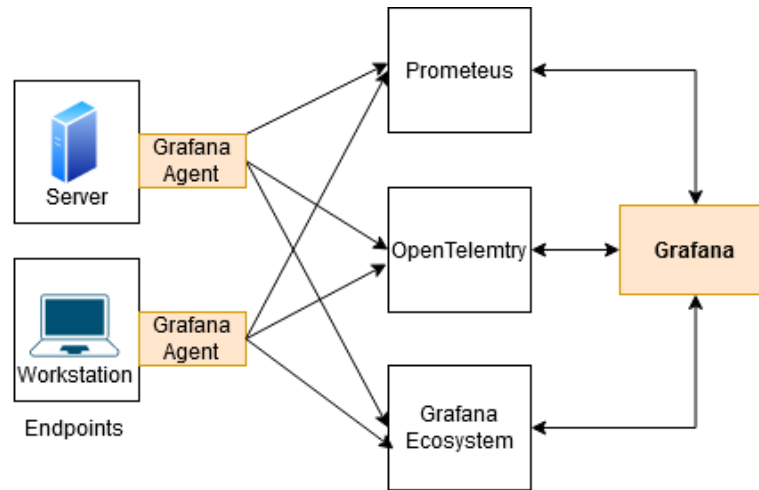


Abbildung 25: Kommunikation zwischen Grafana Agents, Prometheus, OpenTelemetry und *Grafana Ecosystem*  
 Quelle: (Grafana Labs, 2022b)

Der Kommunikationsfluss bei Grafana Agents funktioniert ähnlich, wie bei Promtail. Die Endpoints (links), wo die Agents installiert sind, schicken die Logdateien zu den kompatiblen Tools (mitte), die sich wiederum mit Grafana (rechts) kommunizieren.

Die Sendung des Inhalts der Logdateien findet auch mithilfe von Grafana Loki HTTP **API** statt. In diesem Fall werden die Zeile der Logdateien und nicht der Datei zum Endpoint von Loki mit HTTP POST-Anfrage geschickt.

Grafana Loki bietet auch eine Integration mit dem Open-Source-Tool OpenTelemetry an, um Logdateien zu empfangen (Grafana Labs, 2022c). Die Integration mit Grafana Loki erfolgt über die Nutzung von APIs. Der *Collector* läuft in derselben Umgebung wie Grafana Loki, damit er die Logdateien empfangen und verarbeiten kann. Die *Agents* laufen auf jedem Endpunkt und kommunizieren mit dem *Collector*.

Die folgende Abbildung stellt das Kommunikationsverfahren zwischen OpenTelemetry und die Tools von *Grafana Ecosystem*:

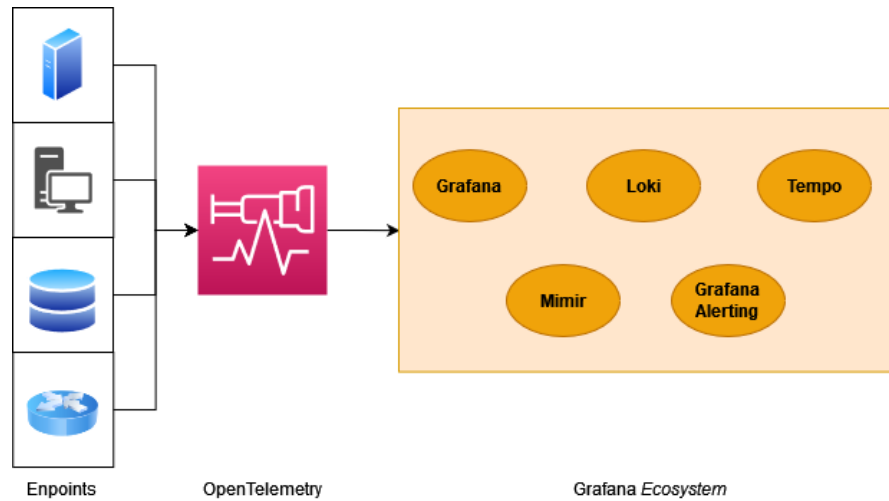


Abbildung 26: Datenfluss zwischen OpenTelemetry und *Grafana Ecosystem*  
Quelle: (Grafana Labs, 2021d)

Auf der linken Seite der Abbildung 26 haben wir die verschiedenen Endpoints, auf denen jeweils ein *Collector* läuft. In der Mitte ist der OpenTelemetry Endpoints, der die Datei sammelt und dessen Inhalt verarbeitet. Diese werden schließlich an die Tools von *Grafana Ecosystem* weiterleitet.

### 3.4. Aufbau der Erkennungsregel für den ausgewählten Angriff

Ein Brute-Force Angriff lässt sich durch eine hohe Anzahl der fehlgeschlagenen Anmeldeversuche erkennen (Selvaganesh et al., 2022). Wir betrachten eine Situation, in der keine Gegenmaßnahmen wie Kontosperre nach  $n$  beliebigen Versuchen oder MFA, implementiert sind. Das folgende Abbildung, 27, stellt Diagramm mit einem allgemeinen Ablauf eines Anmeldeverfahrens dar:

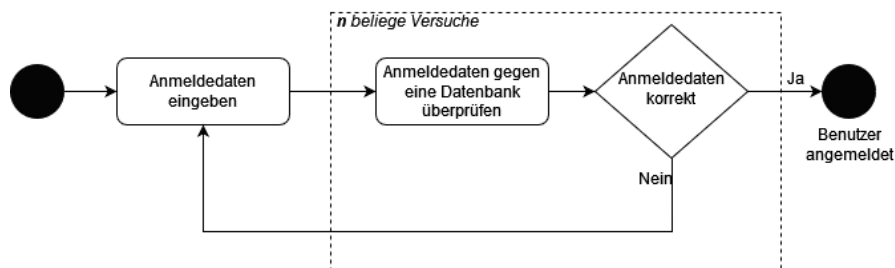


Abbildung 27: Allgemeiner Ablauf eines Anmeldeverfahrens  
Quelle: Eigene Quelle und (Selvaganesh et al., 2022)

Grafana bietet ein Konfigurationsmuster für die Eingabe und Darstellung von SSH Eventds an. In dieser Konfiguration sind bereits Regesätze für die Verarbeitung der Log-Einträge in Loki und Quellcode für die Generierung von Grafik in Grafana. Diese Konfigurationsdatei ermöglicht eine umfassende Analyse dieser Daten (VoidQuark, 2022). Die gesentet Logdateien werden mithilfe der folgenden Elemente gelesen und verarbeitet:

| Element                           | Beschreibung   |
|-----------------------------------|--|
| JavaScript Object Notation (JSON) | Lesbare Dateiformat, deren Daten nach dem Regel Schlüssel-Wert-Paar gespeichert sind |
| Muster                            | Lesen und Extraktion der Information der Logdateien                                  |
| Reguläre Ausdrücke (RegExp)       | Mustererkennung aus der Logdatei   |
| Logfmt                            | Extraktion von Schlüssel:Wert Paar der Logdateien                                    |

Tabelle 4: Elementen eines Regelsatzes in Grafana Loki  
Quelle: Eigene Quelle, (VoidQuark, 2022) und (Setter, 2015)

Für jedes Angriffsszenario benutzen wir spezifische Regeln, die mit LogQL aufgebaut sind. Die Filterung findet mithilfe von zwei Labels „instance“ und „job“ statt. In Promtail wird jeder Endpoint als „Instance“ bezeichnet. Eine oder mehrere „instances“ werden einem „job“ zugewiesen. „jobs“ beziehen sich auf die Bearbeitung der Logdateien nach dem spezifizieren Regeln, in unserem Fall, Überprüfung von SSH-Logdateien. Diese Struktur stammt aus dem Tool Prometheus. Alle unsere „instance“ werden in einem „job“ eingepackt, wo sie nach den gleichen Regeln verarbeitet. Zusätzliche Labels können auch definiert werden (Prometheus, 2015). Das folgende Diagramm, 28, stellt die Beziehung zwischen diesen beiden Labels dar:

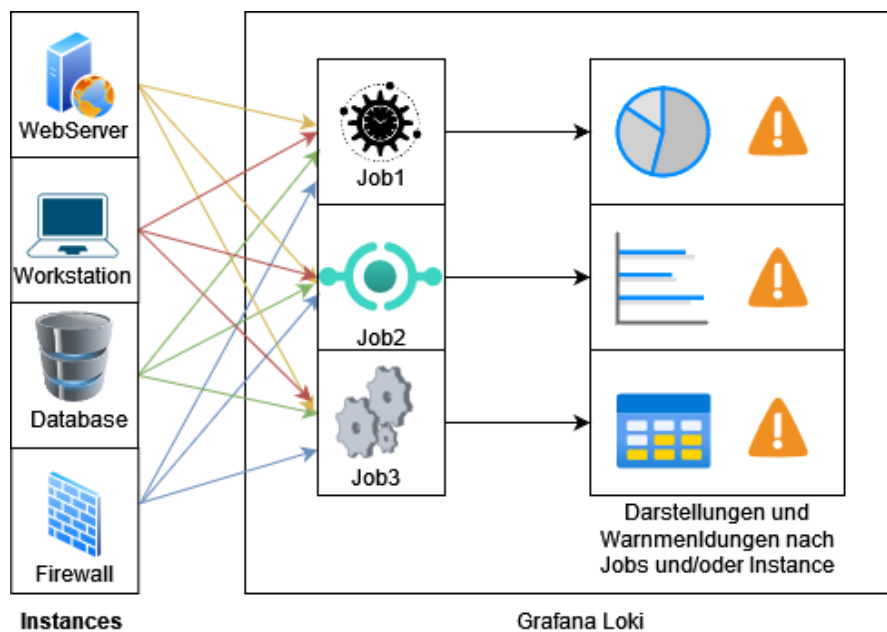


Abbildung 28: Beziehung zwischen „instance“ und „job“

Der Inhalt Logdateien kann dann in Grafana nach dem definierten Labels aufgerufen werden, wie auf der folgenden Abbildung 29 dargestellt:

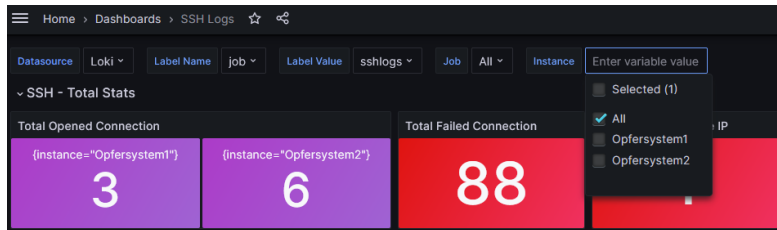


Abbildung 29: Aufrufe des Inhalts der Logdateien nach bestimmten Labels

Mit LogQL können auch Filterung verwendet, um nach bestimmten „instance“ und/oder „jobs“ die Daten aufzurufen, wie auf der Abbildung 30 dargestellt:

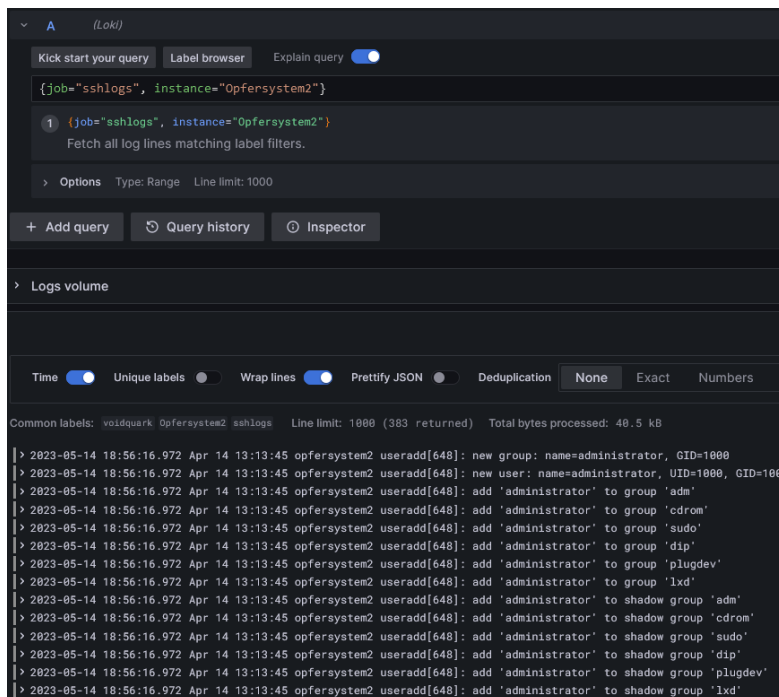


Abbildung 30: Aufrufe des Inhalts der Logdateien LogQL

In dem nächsten Abschnitt beschreiben wir, wie diese Regel in LogQL geschrieben werden.

### 3.4.1. Regelsätze in LogQL

In diesem Abschnitt fassen wir zusammen, wie eine Abfrage in LogQL für eine Logdatei mit SSH Einträgen aussieht. Für ausführliche Informationen über den Aufbau der Abfrage verweisen wir die offizielle Dokumentation, auf die diese Erklärung basiert ist (Grafana Labs, 2021c). Unsere Logdatei enthält unter anderem folgende Zeile:

```
14 14:05:30 opfersystem2 sshd[1698]: Failed password for administrator
from 10.0.2.15 port 58036 ssh2
```

Um fehlgeschlagene Anmeldeversuche zu erkennen, extrahieren wir folgende Felder aus den SSH-Logdateien. Diese Information verwenden wir um gleiche Events zu erkennen und deren Anzahl festzustellen.

```
14 14:05:30 opfersystem2 sshd[1698]: Failed password for administrator
from 10.0.2.15 port 58036 ssh2
```

Wir teilen die Abfrage unten mit, um ihre Bestandteile besser zu verstehen:

| LogQL-Codeschnipsel  | Beschreibung  |
|--|---|
| <pre>sum by(add) (rate({job="JOBNAME" instance= "\$instance"})</pre> | Hiermit wird die Aufsummierung der Benutzernamen definiert, die wir mit „Patterns“ in LogQL definiert haben. „Patterns“ ermöglichen die einfache Extrahierung von Informationen aus einer Zeile. Wir holen alle Log-Einträge, die sich auf den von uns definierten Job beziehen. Wir können auch nach spezifischen Endpoint filtern, indem wir das Schlüsselwort „instance“ benutzen. |
| <pre> </pre>   | „ “ funktioniert in LogQL wie eine Pipeline für die Verkettung von mehreren Suchmustern.  |
| <pre> = '<b>sshd</b>[  = ': <b>Failed</b>'</pre>                     | Suche nach Zeilen mit den in den rot markierten Einträgen.  |

| Element  | Beschreibung   |
|--|--|
| <pre>!~ 'invalid user' !~ 'Legitimer_Nutzer' !~ 'Legitime_Adresse'</pre>   | Suche nach Zeilen <b>ohne</b> diese Einträge. Wir können beispielsweise Einträge ausschließen, die auf legitimen Nutzer oder IP-Adresse beziehen, um falsche Positive zu vermeiden   |
| <pre>  pattern '&lt;_&gt;' for &lt;Benutzername&gt; from &lt;Quelladresse&gt; port &lt;_&gt;' [\$ __range]))</pre> | Die Definition der Wörter „Benutzername“, „Quelladresse“ und als „Patterns“ dienen dazu, einen Benutzernamen und eine Quelle IP-Adresse aus der Logdatei zu extrahieren. Die Platzhalter „<_>“ sind unbekannte Elemente, die in diesem Fall auf die Einträge „password“ und Portnummer in der Zeile verweisen. |

Tabelle 5: Elementen eines Regelsatzes in Grafana Loki  
Quelle: Eigene Quelle, (VoidQuark, 2022) und (Setter, 2015)

Schließlich sieht der Regelsatz so aus:

```
sum by(add) (rate(job="JOBNAME", instance=~"$instance" |= 'sshd[' |= ':
Failed' !~ 'invalid user' !~ 'Legitimer_Nutzer' !~ 'Legitime_Adresse' |
pattern '<_>' for <Benutzername> from <Quelladresse> port <_>' [$ __range]))
```

Eine allgemeine Erkennungsregel in LogQL würde so aussehen:

```
Ergebnis = Operation (GesuchterWert) (Operation(label1="LabelWert",
label2="Label2Wert") |= 'Gesuchte Inhalt im Logdatei' | !'Inhalt im
Logdatei ausschliessen' | Regulärer Ausdruck | pattern '<_>'
WortImLogDatei <GesuchterInhalt> WortImLogDatei <_>' [\$__range]))
```



### 3.5. Hinzufügen der Regelsätze Grafana Loki

Die Regelsätze in Grafana Loki können sowohl **manuell** im Menü „Code“ als auch über die **GUI** im Menü „Builder“ geschrieben werden. Letzteres bietet eine benutzerfreundlichere Umgebung, um die Regeln zu schreiben. Die folgenden Abbildungen, 31 und 32, zeigen diese beiden Optionen:

```
sum by (username) (count_over_time({job=~"varlogs", job=~".*",
instance=~".*"} |="sshd[" |~": Invalid|: Connection closed by
authenticating user|: Failed .* user" | pattern `<_> user <username> <_>
port` | __error__="" [2m]))
```

Abbildung 31: Feld in Grafana Loki für manuelle die Eingabe des LogQL-Codes.  
Quelle: (VoidQuark, 2022)

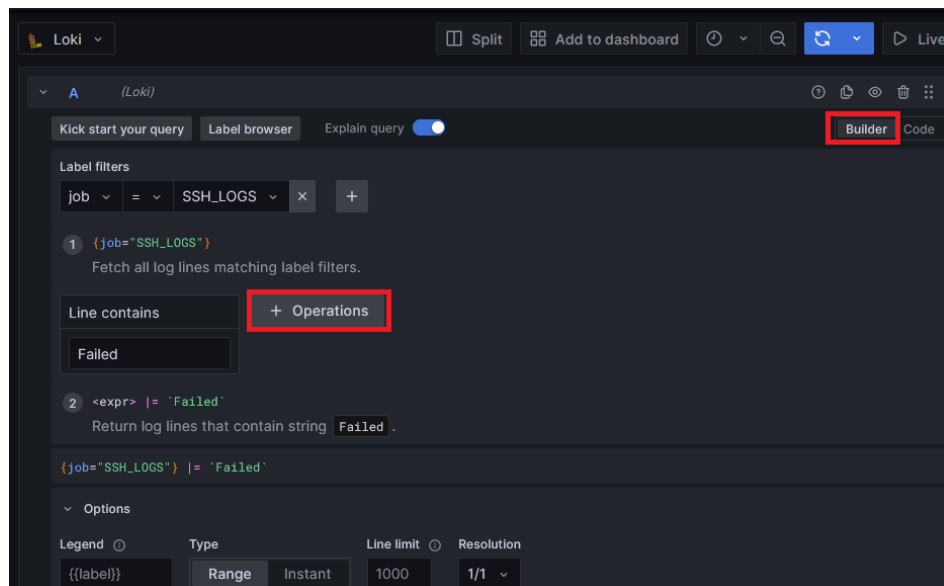


Abbildung 32: „Builder“ in Grafana Loki für nutzerfreundlichere Eingabe des LogQL-Codes. Quelle: (VoidQuark, 2022)

Beide Optionen bieten die Möglichkeit, eine Erklärung zur Abfrage anzuzeigen, wie auf der Abbildung 33 gezeigt wird:

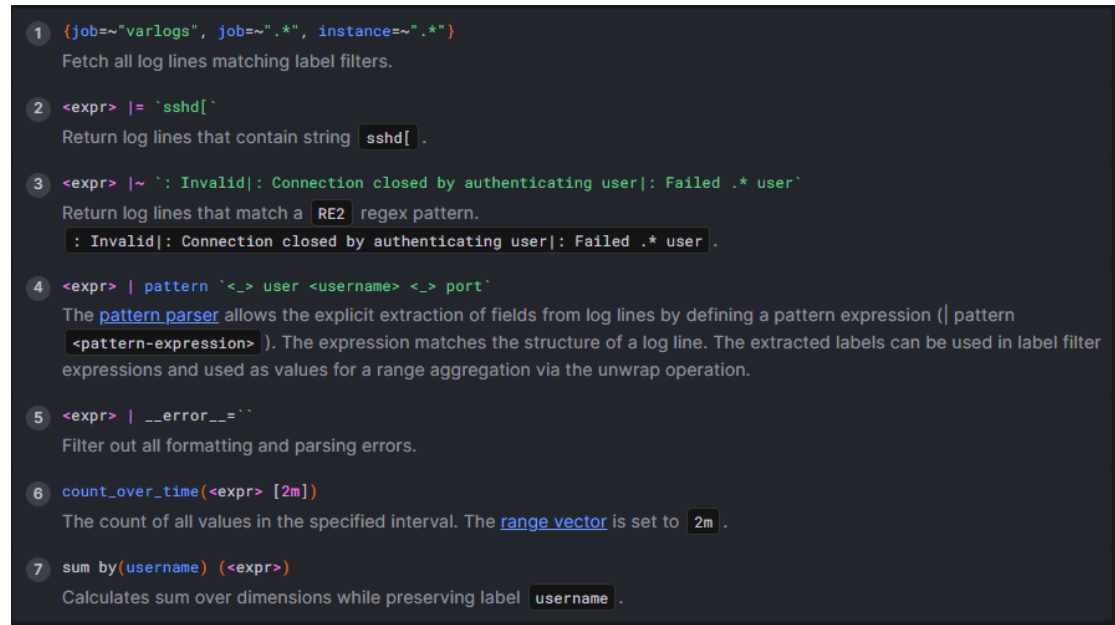


Abbildung 33: Ausführliche Information über die Abfrage  
Quelle: (Grafana Labs, 2022d)

Mit der Nutzung von *API* Endpoint von Loki ist es möglich nach dem Inhalt der Logdateien abzufragen, indem die Regelsätze in LogQL geschrieben werden. In diesem Fall bekommen wir die gefilterte Ergebnis als Antwort (Grafana Labs, 2020c).

```
# Muster für die Anfrage
curl -G -s "http://LokiInstance/Endpoint" --data-urlencode 'Logql Abfrage'
| jq

# Beispiel
curl -G -s "http://LokiInstance/loki/api/v1/query" --data-urlencode
'sum by(add) (rate({job="JOBNAME", instance=~"$instance"} |= 'sshd[' |= ':
Failed' !~ 'invalid user' !~ 'Legitimer_Nutzer' !~ 'Legitime_Adresse' |
pattern '<_> for <Benutzername> from <Quelladresse> port <_>' [$_range]))'
| jq
```

Nachdem die SSH-Logdateien gelesen und verarbeitet wurden, bekommen wir von Grafana Loki die zusammenfassende Ergebnissen, wie unter auf der Abbildung 35 dargestellt:

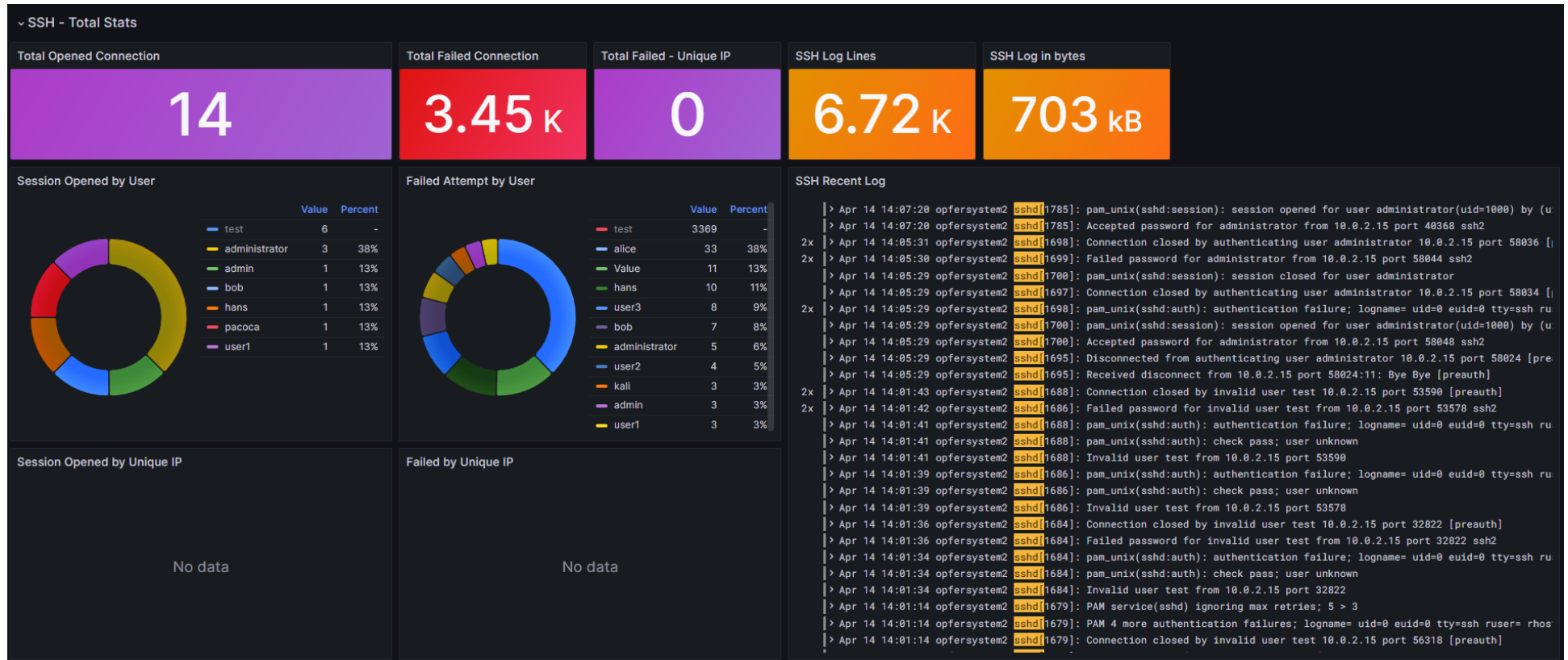


Abbildung 34: Ausgabe der Verarbeitung der SSH Logdateien von Grafana Loki

Das nächste Abbildung, 35, gibt ausführliche Informationen der Logdateien:

| ~ Detailed Stats              |                 |               |               |                            |                 |               |               |
|-------------------------------|-----------------|---------------|---------------|----------------------------|-----------------|---------------|---------------|
| Session Opened by User and IP |                 |               |               | SSH Failure by User and IP |                 |               |               |
| Time                          | instance        | ip            | username      | Time                       | instance        | ip            | username      |
| 2023-04-26 09:11:06.186       | DESKTOP-LM600AE | 10.0.2.15     | administrator | 2023-04-26 09:11:06.186    | DESKTOP-LM600AE | 10.0.2.15     | administrator |
| 2023-04-26 09:11:06.186       | DESKTOP-LM600AE | 10.0.2.15     | administrator | 2023-04-26 09:11:06.186    | DESKTOP-LM600AE | 10.0.2.15     | administrator |
| 2023-04-26 09:11:06.185       | DESKTOP-LM600AE | 10.0.2.15     | hans          | 2023-04-26 09:11:06.186    | DESKTOP-LM600AE | 10.0.2.15     | administrator |
| 2023-04-26 09:11:06.185       | DESKTOP-LM600AE | 10.0.2.15     | pacoca        | 2023-04-26 09:11:06.186    | DESKTOP-LM600AE | 10.0.2.15     | administrator |
| 2023-04-26 09:11:06.183       | DESKTOP-LM600AE | 10.0.2.15     | administrator | 2023-04-26 09:11:06.186    | DESKTOP-LM600AE | 10.0.2.15     | administrator |
| 2023-04-26 09:11:06.183       | DESKTOP-LM600AE | 10.0.2.15     | bob           | 2023-04-26 09:11:06.185    | DESKTOP-LM600AE | 10.0.2.15     | alice         |
| 2023-04-26 09:11:06.181       | DESKTOP-LM600AE | 10.0.2.15     | user1         | 2023-04-26 09:11:06.185    | DESKTOP-LM600AE | 10.0.2.15     | alice         |
| 2023-04-26 09:11:06.180       | DESKTOP-LM600AE | 10.0.2.15     | admin         | 2023-04-26 09:11:06.185    | DESKTOP-LM600AE | 10.0.2.15     | alice         |
| SSH Session Opened by User    |                 |               |               | SSH Failure by User        |                 |               |               |
| Time                          | instance        | username      |               | Time                       | instance        | username      |               |
| 2023-04-26 09:11:06.186       | DESKTOP-LM600AE | administrator |               | 2023-04-26 09:11:06.186    | DESKTOP-LM600AE | administrator |               |
| 2023-04-26 09:11:06.186       | DESKTOP-LM600AE | administrator |               | 2023-04-26 09:11:06.186    | DESKTOP-LM600AE | administrator |               |
| 2023-04-26 09:11:06.185       | DESKTOP-LM600AE | hans          |               | 2023-04-26 09:11:06.186    | DESKTOP-LM600AE | administrator |               |
| 2023-04-26 09:11:06.185       | DESKTOP-LM600AE | pacoca        |               | 2023-04-26 09:11:06.186    | DESKTOP-LM600AE | administrator |               |
| 2023-04-26 09:11:06.183       | DESKTOP-LM600AE | administrator |               | 2023-04-26 09:11:06.186    | DESKTOP-LM600AE | administrator |               |
| 2023-04-26 09:11:06.183       | DESKTOP-LM600AE | bob           |               | 2023-04-26 09:11:06.185    | DESKTOP-LM600AE | alice         |               |
| 2023-04-26 09:11:06.181       | DESKTOP-LM600AE | user1         |               | 2023-04-26 09:11:06.185    | DESKTOP-LM600AE | alice         |               |
| 2023-04-26 09:11:06.180       | DESKTOP-LM600AE | admin         |               | 2023-04-26 09:11:06.185    | DESKTOP-LM600AE | alice         |               |

Abbildung 35: Ausführliche Darstellung der SSH Logdateien von Grafana Loki

### 3.6. Einrichtung der Warnmeldungen in Grafana

In den vorherigen Teilen dieser Arbeit haben wir uns damit auseinandergesetzt, Grafana so einzurichten, dass wir schließlich eine Lösung ähnlich einer SIEM erhalten. Von unseren ursprünglichen Ziele haben wir bereits Folgendes erreicht:

1. Sammlung der Logdateien von den Endpoints mit Promtail
2. Anpassung der Logdateien für die Weiterleitung an Grafana Loki
3. Nutzung von Regelsätzen in Loki für die Analysierung der SSH Logdateien
4. Graphische Darstellung der Ergebnissen in Grafana mit den in Loki verwendeten Regelsätzen

Unser letztes Ziel besteht darin, Warnmeldungen für potenzielle Angriffe mithilfe der Ergebnisse von Loki zu generieren. Grafana kann sowohl intern mit der Funktionalität „Alerting“ als auch extern mit Plugins, wie **Alertmanager**, Warnmeldungen generieren. Der zweite kann Daten von Prometheus, Cortex und Mimir als Datenquelle verwenden (Grafana Labs, 2021a) und kann Daten von beliebigen Endpoints empfangen. Die Regelsätze des Alertmanagers haben folgendes Muster:

```
# Warnmeldungen können in beliebigen Gruppen kategorisiert werden. Diese
können von den Nutzern entsprechend ihrer Anforderungen und Bedürfnisse
definiert werden.
groups:
  # Ab diesem Punkt beginnen wir mit der Definition der Regelsätze
  für die Erkennung von Warnmeldungen. Diese umfassen:
  - name: example
    rules:
    - alert: HighRequestLatency

    # LogQL-Regelsätze für die Erkennung der Warnmeldung, welche die
    in den vorherigen Schritten definierten Abfragen verwenden.
    expr: job:request_latency_seconds:mean5m{job="SSH_LOGS"} > 0.5
    for: 10m
    labels:
      severity: page
    annotations:
      summary: High request latency
```

Grafana hat auch ein eigenes internes Tool, um Warnmeldungen zu konfigurieren: **Alerting**. In dieser Arbeit versuchen wir unser Warnmeldungs-System mithilfe dieses Tools aufzubauen.

Die Warnmeldungen können direkt in der GUI von Grafana konfiguriert werden. Dazu folgt man den folgenden Schritten (Grafana Labs, 2019):

1. Name der Regel
2. Regelsätze in LogQL
3. Definition von Gruppen für jede Art von Warnmeldung. Gruppen können später verschiedenen Einstellungen zugewiesen werden, wie z.B. Benachrichtigungen und Inhalte.
4. Informationen über die Warnmeldung, wie eine eindeutige ID und eine Beschreibung. Der Nutzer kann diese Felder so definieren, wie es notwendig ist.
5. Benachrichtigung der Zielgruppe, die diesen Fall später bearbeiten wird.
6. Labels zur besseren Organisation der Warnmeldungen.
7. Konfiguration von E-Mail in Grafana für die Weiterleitung der Warnmeldungen.

Für unseren ersten Test erstellen wir Warnmeldungen über die **GUI** von Grafana für fehlgeschlagene Anmeldeversuche. Wir haben die oben genannten Elemente definiert und die folgenden Regelsätze verwendet (VoidQuark, 2022):

```
# (A) Anzahl von fehlgeschlagenen Anmeldeversuche für existierenden
Benutzernamen:
sum by (username) (count_over_time({$label_name=~"$label_value",
job=~"$job", instance=~"$instance"} |="sshd[" |~": Invalid|:
Connection closed by authenticating user|: Failed .* user" |
pattern '<_> user <username> <_> port' | __error__=""
[$__interval]))

# (B) Anzahl von Fehlgeschlagenen Anmeldeversuche für nicht
existierenden Benutzernamen:
sum by (username) (count_over_time({$label_name=~"$label_value",
job=~"$job", instance=~"$instance"} |="sshd[" |=": Failed" !~"invalid
user" | pattern '<_> for <username> from <_> port' | __error__=""
[$__interval]))

# Wenn die Anzahl von (A) oder von (B) größer als fünf ist, dann wird
die Warnmeldung als E-Mail an dem Ziel geschickt.
```

Im Anhang C befindet sich die Konfigurationsdatei für unsere Warnmeldung.

Nachdem alles korrekt konfiguriert wurde, haben wir die folgende E-Mail erhalten:

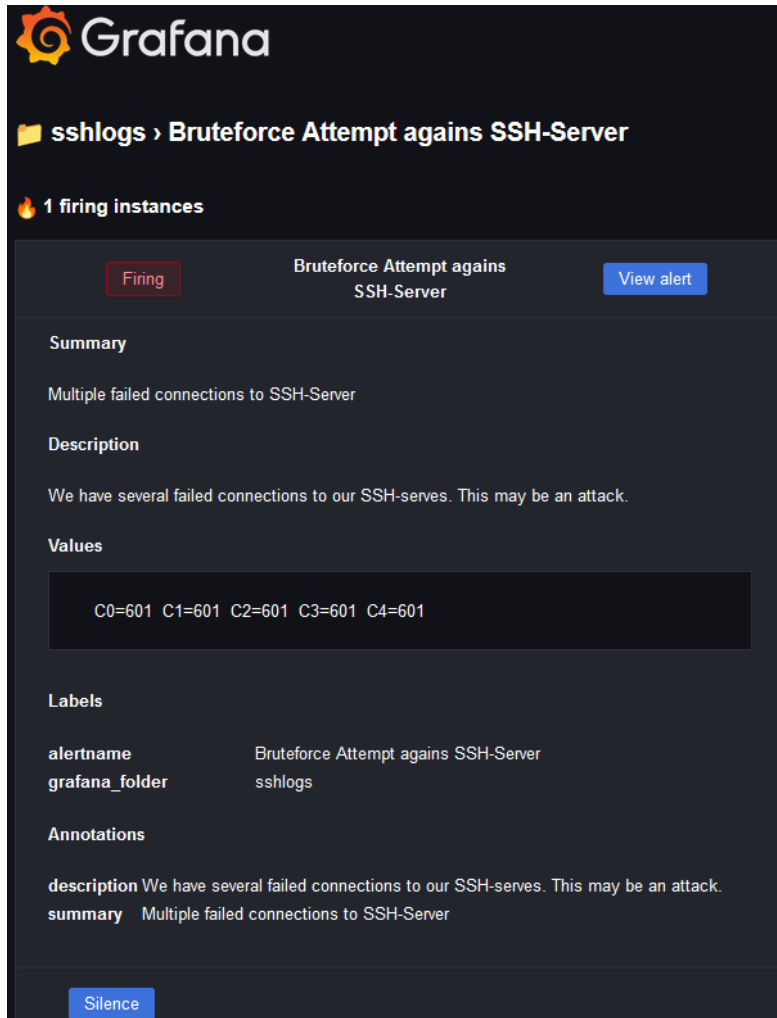


Abbildung 36: E-Mail Warnmeldung von Grafana

## 4. Evaluation der Implementation mit echten Logdateien

In diesem Abschnitt präsentieren wir unsere Implementierung für die Analyse von SSH-Logdateien der Hochschule. Hier hat unsere Logdateien ungefähr vier Megabyte

Die Extrahierung des Inhalts der Logdateien erfolgt im Promtail mit folgenden Konfigurationen aus der offiziellen Dokumentation (Grafana Labs, 2020f):

| Konfigurationsfeld   | Beschreibung   |
|--|--|
| <b>scrape_configs</b>  | Steht für die Funktionalität von Promtail, automatisch nach Logdateien zu suchen.  |
| - job_name: sshlogs  | Definition des Names unseres „job“   |
| <b>pipeline_stages:</b><br><br>- match:<br>selector: '{job="sshlogs"}'<br>action: keep<br><br><b>stages:</b><br>- regex:<br>expression:<br>'^(?P<time>[A-Za-z]{3}\s {1,2}\d {1,2}\s\d {2}:\d {2}:\d {2})*'<br>- timestamp:<br>source: time<br>format: "Jan _2 15:04:05"<br>location: „Europe/Berlin“ | Hier können wir den Inhalt der Logzeile definieren, bevor wir es zu Loki schicken.<br><br>Nur Logzeilen mit diesem „label“ werden modifiziert und dessen Inhalt wird beibehalten. Alternativ gibt es „drop“, um diesen Inhalt zu löschen.<br><br>Promtail bietet verschiedene Typen von „stages“, um die Logzeile zu bearbeiten. Diese werden nacheinander verarbeitet. Wir benutzen die „stages“ RegExp und dann „timestamp“. Der erste liest den Zeitstempel aus der SSH-Logdatei aus, damit der zweite ihn verarbeiten und zu der von uns ausgewählten Format umwandeln kann. Schließlich speichert Loki den Zeitstempel der Zeile de Logdatei und nicht denen von des Hochladen in Loki. |
| <b>decompression</b><br>enabled: true<br>initial_sleep: 10s<br>format: gz  | Promtail kann verschiedene Komprimierungsformate verarbeiten, darunter auch .gz, welches wir in unserer Arbeit verwenden. Das Feld <i>initial_sleep</i> beschreibt das Intervall, bevor die Dekomprimierung beginnt. Dieses Feld kann nützlich sein, wenn komprimierte Dateien vorhanden sind, deren Komprimierungsvorgang jedoch noch nicht abgeschlossen ist. Das Feld <i>format</i> gibt das Komprimierungsformat an (Grafana Labs, 2020e).   |



| Konfigurationsfeld   | Beschreibung  |
|--|---|
| <b>static_configs:</b><br>- targets:<br>- loki<br>labels:<br>job: sshlogs<br>instance: Endpoint-Name<br>__path__: /var/log/**/*.gz | Das Feld <i>targets</i> bezieht sich auf die Kommunikation mit der Loki-Instanz. Das Feld <i>labels</i> zeigt an, unter welcher Bezeichnung der Inhalt dieser Datei in Loki aufgerufen werden kann. <i>__path__</i> gibt den Pfad zur Datei im System an. |

Tabelle 6: Konfigurationsausschnitt von Promtail

Unsere gesamte Einstellung für Promtail befindet sich im Anhang B auf der Seite 67.

In der nächsten Tabelle, 7, zeigen wir einen Konfigurationsausschnitt von Loki, die wir anpassen mussten, damit unsere Logdateien verarbeitet werden könnten. Diese Konfiguration wurde mithilfe der offiziellen Dokumentation (Grafana Labs, 2020d) und des offiziellen Forumsbeitrags von Grafana Loki (itsnotv, 2022) gestaltet.

| Konfigurationsfeld  | Beschreibung  |
|---|---|
| <b>query_range:</b><br>parallelise_shardable_queries:<br>true | Bezieht sich auf Abfrage und Ergebnis von Inhalt des Logdateien in spezifischen Zeitspanne.<br>Der Abfrage-Prozess findet parallel statt.   |
| <b>frontend:</b><br><br>max_outstanding_per_tenant:<br>10000  | Dieser Block bezieht sich auf Abfrage in Frontend-Ebene.<br>Anzahl von erlaubten ausstehenden Abfrage. Um Leistung zu gewinnen, sagten wir, dass ein einzelner Nutzer, diese Anzahl von ausstehenden Anfrage hat. In einer produktiven Umgebung ist dieser Wert von der Rechenkapazität abhängig. |
| <b>querier:</b><br>max_concurrent: 2048                       | Festlegung der Verarbeitung von Abfrage Anzahl der gleichzeitigen Abfragen, die verarbeitet werden.   |

| Konfigurationsfeld             | Beschreibung   |
|--------------------------------|--|
| <b>limits_config:</b>          | Festlegung der Aufnahme- und Nutzungsrate von Ressourcen.  |
| reject_old_samples: false      | Ermöglicht die Aufnahme von alten Logdateien, was in unserem Fall notwendig ist, da unsere Datei von April 2022 ist. |
| split_queries_by_interval: 15m | Trennung von Abfragen nach einem definierten Intervall. Jeder Intervall wird gleichzeitig ausgeführt                 |
| max_query_parallelism: 32      | Maximale Anzahl von parallelen Abfragen, die gleichzeitig ausgeführt werden.   |

Tabelle 7: Konfigurationsausschnitt von Loki

## 5. Fazit

In dieser Arbeit haben wir versucht, mithilfe von Grafana, Loki und Promtail eine SIEM-Lösung zu emulieren, um Überwachungsmechanismen anhand von Logdateien zu erstellen. In der folgenden Tabelle zeigen wir die Rolle jedes verwendeten Tools bei der Erreichung unseres Ziels:

| Tool             | Funktionalität                  |
|------------------|---------------------------------|
| Promtail         | Datensammlung                   |
| Loki             | Normalisierung und Verarbeitung |
| Grafana          | Berichts- und Grafikgenerierung |
| Grafana:Alerting | Generierung von Warnmeldungen   |

Tabelle 8: Verwendete Tools und ihre Hauptfunktionalitäten  
Verwendete Tools und ihre Hauptfunktionalitäten

Wir stellen fest, dass die verwendeten Tools trotz einiger Einschränkungen eine kosteneffektive Möglichkeit bieten, ein Überwachungssystem zu implementieren. Die Methoden zur Erkennung von Angriffen lassen sich anhand der Taktiken, Techniken, Prozeduren (TTP) der Mitre ATT&CK Matrix definieren. Nach der Auswahl eines Angriffs erstellen wir Regelwerke mit der Abfragesprache LogQL in Loki, um Muster zu identifizieren, die auf den ausgewählten Angriff hindeuten. Diese Regelwerke werden dann verwendet, um Warnmeldungen über den Angriff zu generieren und zu versenden.

Die Einschränkungen beziehen sich auf verschiedene Probleme in der neueren Version von Loki, die seit 2022 gemeldet wurden und für die bisher keine Lösung existiert.

### 5.1. Herausforderungen

Die korrekte Erstellung der Regelwerke stellt die größte Herausforderung bei dieser Implementierung dar. Um die Tools präzise anzuwenden, ist es entscheidend, die Regelwerke richtig zu entwickeln, um potenzielle Angriffe identifizieren zu können. Da Logdateien aus produktiven Umgebungen eine große Menge an Informationen enthalten, müssen die

Regelwerke so definiert werden, dass sie die relevanten Informationen wie IP-Adresse, Portnummer, Zeitfenster und Zeitabstände zwischen Anfragen filtern und nach Angriffsmustern kategorisieren können. Die Lernkurve für den Aufbau der richtigen Regelwerke kann eine große Herausforderung darstellen, wie auch in unserem Fall.

Die korrekte und präzise Indexierung spielt eine entscheidende Rolle für die Leistung der Anwendung. Die Verwendung vieler Labels erfordert eine hohe Rechenkapazität und kann auch zu fehlerhaften Ergebnissen führen, wie bei uns. Die Rechenkapazität muss ebenfalls angepasst werden, um sicherzustellen, dass die steigende Anzahl von Anfragen (siehe Abbildung 12 auf Seite 19) nicht zu Abstürzen führt.

## **5.2. Zukünftige Forschung**

Die von uns definierten Regeln basieren auf statischen Elementen wie der „Anzahl von Anfragen“, dem „Zeitabstand zwischen Requests“ und der „Anzahl von fehlgeschlagenen Anmeldeversuchen“. Moderne Angriffe haben jedoch auch einen dynamischen Aspekt, der sich an die Umgebung anpasst, insbesondere durch die fortschreitende Entwicklung von Künstliche Intelligenz (KI) (Guembe et al., 2022).

KI kann zur Automatisierung von Aufgaben oder zur effizienten Datenanalyse eingesetzt werden. Für die zukünftige Weiterentwicklung dieser Arbeit kann dieses Werkzeug eine große Unterstützung bieten, indem es performantere und effizientere Regelwerke vorschlägt, um die Log-Analyse effizienter und zuverlässiger zu gestalten. Dies würde dazu beitragen, einen sicheren Netzwerkverkehr zu gewährleisten.

## Literaturverzeichnis

- Advani, S., Mridul, M., Vij, P. S. R., Agarwal, M., and A., L. P. (2020). Iot data analytics pipeline using elastic stack and kafka. *International Journal of Computer Sciences and Engineering*, 8:144–148.  
<https://www.ijarcce.com/upload/2016/april-16/IJARCCE%2013.pdf>. Zugriff am 07.03.2023.
- Anand, A. (2023). Loki vs elasticsearch - which tool to choose for log analytics?  
<https://signoz.io/blog/loki-vs-elasticsearch/>. Zugriff am 18.05.2023.
- at (2022). Abfragesprache.  
<https://www.alexanderthamm.com/de/data-science-glossar/abfragesprache/>. Zugriff am 08.04.2023.
- AT&T Cybersecurity (2022). Alienvault ossim.  
<https://cybersecurity.att.com/products/ossim>. Zugriff am 05.03.2023.
- Ba, M. H. N., Bennett, J., Gallagher, M., and Bhunia, S. (2021). A case study of credential stuffing attack: Canva data breach. In *2021 International Conference on Computational Science and Computational Intelligence (CSCI)*, pages 735–740.  
<https://doi.org/10.1109/CSCI54926.2021.00187>. Zugriff am 26.03.2023.
- Better Stack Team (2023). Grafana vs Kibana: How to Choose in 2023.  
<https://betterstack.com/community/comparisons/grafana-vs-kibana/>. Zugriff am 18.05.2023.
- BSI (2021). Zweites Gesetz zur Erhöhung der Sicherheit informationstechnischer Systeme (IT-Sicherheitsgesetz 2.0).  
[https://www.bsi.bund.de/DE/Das-BSI/Auftrag/Gesetze-und-Verordnungen/IT-SiG/2-0/it\\_sig-2-0\\_node.html](https://www.bsi.bund.de/DE/Das-BSI/Auftrag/Gesetze-und-Verordnungen/IT-SiG/2-0/it_sig-2-0_node.html). Zugriff am 04.03.2023.
- CBNINSIGHTS (2020). Alienvault.  
<https://www.cbinsights.com/company/alienvault>. Zugriff am 05.03.2023.
- Centers for Disease Control and Prevention (2016). Health Insurance Portability and Accountability Act of 1996 (HIPAA).  
<https://www.pricomplianceguide.org/faq/>. Zugriff am 04.03.2023.
- Chai, W. and Ferguson, K. (2021). What is HTTP?  
<https://www.techtarget.com/whatis/definition/HTTP-Hypertext-Transfer-Protocol>. Zugriff am 17.04.2023.
- Collins, C., Dennehy, D., Conboy, K., and Mikalef, P. (2021). Artificial intelligence in information systems research: A systematic literature review and research agenda. *International Journal of Information Management*, 60:102383.  
<https://www.sciencedirect.com/science/article/pii/S0268401221000761>. Zugriff am 21.02.2023.
- comparitech (2023). The Best SIEM Tools for 2023 Vendors & Solutions Ranked.  
<https://www.comparitech.com/net-admin/siem-tools/>. Zugriff am 05.03.2023.

- DevInsider (2021). Was ist distributed tracing?  
<https://www.dev-insider.de/was-ist-distributed-tracing-a-17a5fcbe722ca868e1f393fd6c35bbbb/>. Zugriff am 05.03.2023.
- Dorigo, S. (2012). Security Information and Event Management. Master's thesis, Radboud University Nijmegen.  
<https://www.google.com/url?sa=t&rct=j&q=&esrc=s&source=web&cd=&cad=rja&uact=8&ved=2ahUKEwiNu-XkhsD9AhV4FzQIHdMkBWYQFnoECCYQAQ&url=https%3A%2F%2Fwww.ru.nl%2Fpublish%2Fpages%2F769526%2Fthesissanderdorigo.pdf&usg=AOvVaw3oPn4KBFwgJwexoXZ1Be40>. Zugriff am 03.03.2023.
- Douglis, F. and Nieh, J. (2019). Microservices and containers. *IEEE Internet Computing*, 23(6):5–6.  
<https://doi.org/10.1109/MIC.2019.2955784>. Zugriff am 23.03.2023.
- Ecma, E. (2017). ECMA-404 - The JSON Data Interchange Syntax.  
<https://www.ecma-international.org/publications-and-standards/standards/ecma-404/>. Zugriff am 18.05.2023.
- elastic (2015). Query DSL.  
<https://www.elastic.co/guide/en/elasticsearch/reference/current/query-dsl.html#query-dsl>. Zugriff am 18.05.2023.
- elastic (2021). *FAQ on 2021 License Change*.  
<https://www.elastic.co/pricing/faq/licensing>. Zugriff am 26.03.2023.
- elastic (2022). *Elastic Docs*.  
<https://www.elastic.co/guide/en/welcome-to-elastic/current/new.html>. Zugriff am 5.02.2023.
- European Commission (2015). SIEM design and development.  
<https://cordis.europa.eu/project/id/644425>. Zugriff am 05.03.2023.
- Fortinet (2016). Fortinet Announces Acquisition of AccelOps .  
<https://www.fortinet.com/corporate/about-us/newsroom/press-releases/2016/fortinet-announces-acquisition-of-accelops>. Zugriff am 06.03.2023.
- Fortinet (2018). Key Concepts.  
[https://help.fortinet.com/fsiem/5-1-2/Online-Help/HTML5\\_Help/Key\\_concepts.htm](https://help.fortinet.com/fsiem/5-1-2/Online-Help/HTML5_Help/Key_concepts.htm). Zugriff am 18.05.2023.
- Fortinet (2020). FortiSIEM Reference Architecture.  
[https://www.fortinet.com/content/dam/maindam/PUBLIC/02\\_MARKETING/02\\_Collateral/DeploymentGuide/dg-fortisiem-reference-architecture.pdf](https://www.fortinet.com/content/dam/maindam/PUBLIC/02_MARKETING/02_Collateral/DeploymentGuide/dg-fortisiem-reference-architecture.pdf). Zugriff am 06.03.2023.
- Fortinet (2022). FortiSIEM Solutions.  
<https://www.fortinet.com/products/siem/fortisiem>. Zugriff am 06.03.2023.
- Fu, F. (2018). Chapter six - design and analysis of complex structures. In *Design and Analysis of Tall and Complex Structures*, pages 177–211. Butterworth-Heinemann.  
<https://www.sciencedirect.com/science/article/pii/B978008101018100006X>.

Zugriff am 06.03.2023.

Grafana Labs (2016a). Dashboard anything. Observe everything.  
<https://grafana.com/grafana/>. Zugriff am 12.03.2023.

Grafana Labs (2016b). Grafana Loki documentation.  
<https://grafana.com/docs/loki/latest/fundamentals/overview/>. Zugriff am 10.05.2023.

Grafana Labs (2018). Grafana Loki.  
<https://grafana.com/oss/loki/>. Zugriff am 08.04.2023.

Grafana Labs (2019). Alerting.  
<https://grafana.com/docs/grafana/latest/alerting/>. Zugriff am 21.04.2023.

Grafana Labs (2020a). About Grafana Tempo.  
<https://grafana.com/oss/tempo/>. Zugriff am 11.05.2023.

Grafana Labs (2020b). Getting started.  
<https://grafana.com/docs/loki/latest/getting-started/>. Zugriff am 09.04.2023.

Grafana Labs (2020c). Grafana Loki HTTP API.  
<https://grafana.com/docs/loki/latest/api/>. Zugriff am 17.04.2023.

Grafana Labs (2020d). Loki - configuration.  
<https://grafana.com/docs/loki/latest/configuration/>. Zugriff am 23.05.2023.

Grafana Labs (2020e). Promtail.  
<https://grafana.com/docs/loki/latest/clients/promtail/>. Zugriff am 11.05.2023.

Grafana Labs (2020f). Promtail - configuration.  
<https://grafana.com/docs/loki/latest/clients/promtail/configuration/>.  
Zugriff am 23.05.2023.

Grafana Labs (2021a). Alertmanager.  
<https://grafana.com/docs/grafana/latest/alerting/manage-notifications/alertmanager/>. Zugriff am 21.04.2023.

Grafana Labs (2021b). Grafana loki documentation - fundamentals - architecture - components.  
<https://grafana.com/docs/loki/latest/fundamentals/architecture/components/>. Zugriff am 24.05.2023.

Grafana Labs (2021c). LogQL: Log query language.  
<https://grafana.com/docs/loki/latest/logql/>. Zugriff am 14.04.2023.

Grafana Labs (2021d). What is opentelemetry?  
<https://grafana.com/oss/opentelemetry/>. Zugriff am 17.04.2023.

Grafana Labs (2022a). Dashboard anything. Observe everything.  
<https://grafana.com/logs/>. Zugriff am 12.03.2023.

- Grafana Labs (2022b). Grafana Agent.  
<https://grafana.com/docs/agent/latest/>. Zugriff am 17.04.2023.
- Grafana Labs (2022c). How to send logs to grafana loki with the opentelemetry collector using fluent forward and filelog receivers.  
<https://grafana.com/blog/2022/06/23/how-to-send-logs-to-grafana-loki-with-the-opentelemetry-collector-using-fluent-forward-and-filelog-receivers/>. Zugriff am 17.04.2023.
- Grafana Labs (2022d). Loki query editor.  
<https://grafana.com/docs/grafana/latest/datasources/loki/query-editor/>. Zugriff am 26.04.2023.
- Grafana Labs (2022e). What is Grafana Mimir?  
<https://grafana.com/docs/loki/latest/logql/>. Zugriff am 21.04.2023.
- Grafana Labs (2022f). What is Grafana Phlare?  
<https://grafana.com/oss/phlare/>. Zugriff am 11.05.2023.
- Grafana Labs (2023a). Grafana Loki (Version 2.8.2).  
<https://github.com/grafana/loki>. Zugriff am 18.05.2023.
- Grafana Labs (2023b). Grafana (Version 9.5.2).  
<https://github.com/grafana/grafana>. Zugriff am 18.05.2023.
- Granadillo, G., González-Zarzosa, S., and Diaz, R. (2021). Security Information and Event Management (SIEM): Analysis, Trends, and Usage in Critical Infrastructures. *Sensors*, 21:4759.  
<https://www.mdpi.com/1424-8220/21/14/4759>. Zugriff am 21.02.2023.
- Guembe, B., Azeta, A., Misra, S., Osamor, V. C., Fernandez-Sanz, L., and Pospelova, V. (2022). The emerging threat of ai-driven cyber attacks: A review. *Applied Artificial Intelligence*, 36(1):2037254.  
<https://www.tandfonline.com/doi/full/10.1080/08839514.2022.2037254>. Zugriff am 14.05.2023.
- Gómez, E. C. F., Almeida, O. X. B., and Gamboa, L. M. A. (2022). Analysis of centralized computer security systems through the alienvault ossim tool. *Ecuadorian Science Journal*, 6(1):23–31.  
<https://journals.gdeon.org/index.php/esj/article/view/181>. Zugriff am 03.03.2023.
- Harmes, T. (2023). It-sicherheitsgesetz 2.0.  
<https://rz10.de/knowhow/it-sicherheitsgesetz-2-0/>. Zugriff am 04.03.2023.
- Hazel, T. (2021). How To Use the MITRE ATT&CK Framework.  
<https://www.chaossearch.io/blog/how-to-use-mitre-attck-framework>. Zugriff am 26.03.2023.
- Höfling, M. J. (2022). Was ist opentelemetry?  
<https://www.datacenter-insider.de/was-ist-opentelemetry-a-e6c095b313e36269b752d760b2438bb2/>. Zugriff am 12.05.2023.



- IBM (2020). What is an api (application programming interface)?  
<https://www.ibm.com/topics/api>. Zugriff am 17.04.2023.
- Ibrokhimov, S., Hui, K. L., Al-Absi, A. A., hoon jae lee, and Sain, M. (2019). Multi-Factor Authentication in Cyber Physical System: A State of Art Survey. In *2019 21st International Conference on Advanced Communication Technology (ICACT)*, pages 279–284. <https://doi.org/10.23919/ICACT.2019.8701960>, Zugriff am 26.03.2023.
- IT-Service.Network (2020). Was ist ein plug-in?  
<https://www.hhs.gov/hipaa/for-professionals/privacy/index.html>. Zugriff am 04.03.2023.
- itsnotv (2022). Grafana dashboard shows “too many outstanding requests” after upgrade to v2.4.2 #5123. GitHub forum.  
<https://github.com/grafana/loki/issues/5123>. Zugriff am 21.05.2023.
- Jain, U. (2018). *Lateral Movement Detection Using ELK Stack*. PhD thesis, University of Houston.  
<https://uh-ir.tdl.org/handle/10657/3109>. Zugriff am 07.03.2023.
- Janiesch, C., Zschech, P., and Heinrich, K. (2021). Machine learning and deep learning. *Electronic Markets*, 31(3):685–695.  
<https://doi.org/10.1007/s12525-021-00475-2>. Zugriff am 13.03.2023.
- Jog, Y. (2020). Security Information and Event Management (SIEM).  
<https://www.linkedin.com/pulse/security-information-event-management-siem-yatin-jog>. Zugriff am 04.03.2023.
- Kali (2019). Kali inside virtualbox (guest vm).  
<https://www.kali.org/docs/virtualization/install-virtualbox-guest-vm/>. Zugriff am 02.04.2023.
- Kali (2022a). Hydra.  
<https://www.kali.org/tools/hydra/>. Zugriff am 02.04.2023.
- Kali (2022b). What is kali linux & kali's features.  
<https://www.kali.org/docs/introduction/>. Zugriff am 02.04.2023.
- Kazarov, A., Avolio, G., Chitan, A., and Mineev, M. (2018). Experience with splunk for archiving and visualisation of operational data in atlas tdaq system. *Journal of Physics: Conference Series*, 1085:32052.  
<http://dx.doi.org/10.1088/1742-6596/1085/3/032052>. Zugriff am 04.03.2023.
- Kray, M. (2022). Top 5 Open-Source Log Shippers (alternatives to Logstash) in 2022 .  
[https://dev.to/max\\_kray/top-5-open-source-log-shippers-alternatives-to-logstash-in-2022-5f24](https://dev.to/max_kray/top-5-open-source-log-shippers-alternatives-to-logstash-in-2022-5f24). Zugriff am 18.05.2023.
- Manases, L. and Zinca, D. (2022). Automation of network traffic monitoring using docker images of snort3, grafana and a custom api. In *2022 21st RoEduNet Conference: Networking in Education and Research (RoEduNet)*, pages 1–4.  
<https://doi.org/10.1109/RoEduNet57163.2022.9921063>. Zugriff am 13.03.2023.

- Martin, L. (2018). The cyber kill chain.  
<https://www.lockheedmartin.com/en-us/capabilities/cyber/cyber-kill-chain.html>. Zugriff am 12.03.2023.
- Maymi, F., Bixler, R., Jones, R., and Lathrop, S. (2017). Towards a definition of cyber-space tactics, techniques and procedures. In *2017 IEEE International Conference on Big Data (Big Data)*, pages 4674–4679.  
<http://dx.doi.org/10.1109/BigData.2017.8258514>. Zugriff am 09.05.2023.
- Microsoft Security (2022). Endpoints defined.  
<https://www.microsoft.com/en-us/security/business/security-101/what-is-an-endpoint>. Zugriff am 12.03.2023.
- Mikalauskas, E. (2023). Rockyou2021: largest password compilation of all time leaked online with 8.4 billion entries.  
<https://cybernews.com/security/rockyou2021-alltime-largest-password-compilation-leaked/>. Zugriff am 02.04.2023.
- Miller, J. (2021). Is Elastic STACK (ELK) the best SIEM option?  
<https://www.bitlyft.com/resources/is-elk-the-best-siem-option#:~:text=The%20ELK%20stack%20is%20a,system%20from%20a%20system%20provider>. Zugriff am 07.03.2023.
- MITRE ATT&CK (2018a). Frequently Asked Questions.  
<https://attack.mitre.org/resources/faq/>. Zugriff am 12.03.2023.
- MITRE ATT&CK (2018b). Getting Started.  
<https://attack.mitre.org/resources/getting-started/>. Zugriff am 26.03.2023.
- MITRE ATT&CK (2020). Brute Force.  
<https://attack.mitre.org/techniques/T1110/>. Zugriff am 26.03.2023.
- Mohammed, S. A., Mohammed, A. R., Côté, D., and Shirmohammadi, S. (2021). A machine-learning-based action recommender for network operation centers. *IEEE Transactions on Network and Service Management*, 18(3):2702–2713.  
<https://doi.org/10.1109/TNSM.2021.3095463>. Zugriff am 20.02.2023.
- Mohanan, R. (2022). What Is Security Information and Event Management (SIEM)? Definition, Architecture, Operational Process, and Best Practices.  
<https://www.spiceworks.com/it-security/vulnerability-management/articles/what-is-siem/>. Zugriff am 26.02.2023.
- Nabil, M., Soukainat, S., Lakbabi, A., and Ghizlane, O. (2017). SIEM selection criteria for an efficient contextual security. In *2017 International Symposium on Networks, Computers and Communications (ISNCC)*, pages 1–6.  
<https://doi.org/10.1109/ISNCC.2017.8072035>. Zugriff am 26.02.2023.
- Nexcess (2022). Open source vs. proprietary: Which is better?  
<https://www.nexcess.net/blog/open-source-vs-proprietary/>. Zugriff am 26.02.2023.
- NIST (2020a). About nist.

<https://www.nist.gov/about-nist>. Zugriff am 19.02.2023.

NIST (2020b). Cyber attacke.  
[https://csrc.nist.gov/glossary/term/Cyber\\_Attack](https://csrc.nist.gov/glossary/term/Cyber_Attack). Zugriff am 19.02.2023.

NIST (2020c). False positive.  
[https://csrc.nist.gov/glossary/term/false\\_positive](https://csrc.nist.gov/glossary/term/false_positive). Zugriff am 05.03.2023.

NIST (2020d). Glossary.  
<https://csrc.nist.gov/glossary/>. Zugriff am 19.02.2023.

Open Source Initiative (2007). The Open Source Definition (Annotated).  
<https://opensource.org/definition/>. Zugriff am 17.02.2023.

OpenTelemetry (2023). Opentelemetry.  
<https://opentelemetry.io/>. Zugriff am 12.05.2023.

packt (2019). What is elk stack?  
<https://subscription.packtpub.com/book/big-data-and-business-intelligence/9781788831031/1/ch01lv11sec10/what-is-elk-stack>. Zugriff am 07.03.2023.

Polinowski, M. (2019). What is elk stack?  
<https://mpolinowski.github.io/docs/DevOps/Provisioning/2021-04-07--loki-prometheus-grafana/2021-04-07/>. Zugriff am 09.04.2023.

Prelude SIEM (2018). Prelude SIEM: Smart Security.  
<https://www.prelude-siem.com/en/prelude-siem-en/>. Zugriff am 05.03.2023.

Prelude SIEM (2020). *Prelude Documentation: version 5.2*.  
<https://www.prelude-siem.org/docs/5.2/en/>. Zugriff am 06.03.2023.

Prelude Team (2007). *Manual User*.  
<https://www.prelude-siem.org/projects/prelude/wiki/>. Zugriff am 06.03.2023.

Project, T. (2021). Thehive - a 4-in-1 security incident response platform.  
<https://thehive-project.org/>. Zugriff am 21.04.2023.

Prometheus (2015). Jobs and instances.  
[https://prometheus.io/docs/concepts/jobs\\_instances/](https://prometheus.io/docs/concepts/jobs_instances/). Zugriff am 08.05.2023.

Prometheus (2016). Documentation.  
<https://prometheus.io/docs/introduction/overview/>. Zugriff am 14.04.2023.

Qusef, A. and Hassan, M. (2018). Power of using regular expression patterns in software coding standards quality control. In *2018 International Arab Conference on Information Technology (ACIT)*, pages 1–7.  
<https://doi.org/10.1109/ACIT.2018.8672682>. Zugriff am 09.04.2023.

Radoglou-Grammatikis, P., Sarigiannidis, P., Iturbe, E., Rios, E., Martinez, S., Sarigiannidis, A., Eftathopoulos, G., Spyridis, Y., Sesis, A., Vakakis, N., Tzovaras, D., Kafetzakis, E., Giannoulakis, I., Tzifas, M., Giannakoulis, A., Angelopoulos, M., and Ramos, F. (2021). Spear siem: A security information and event management system for the smart grid. *Computer Networks*, 193:108008.  
<https://doi.org/10.1016/j.comnet.2021.108008>. Zugriff am 03.03.2023.

- Ramírez Tomás, I. (2018). *Implementación de un sistema de gestión de eventos de seguridad en una empresa de tamaño medio*. PhD thesis, Universitat Politècnica de València.  
<https://riunet.upv.es/bitstream/handle/10251/109765/Ram%c3%adrez%20-%20Implementaci%c3%b3n%20de%20un%20sistema%20de%20gesti%c3%b3n%20de%20eventos%20de%20seguridad%20en%20una%20empresa%20de%20tama%c3%b1....pdf?sequence=1&isAllowed=y>. Zugriff am 06.03.2023.
- redhat (2022). What is grafana?  
<https://www.redhat.com/en/topics/data-services/what-is-grafana>. Zugriff am 13.03.2023.
- Roser, M., Ritchie, H., and Ortiz-Ospina, E. (2015). Internet. *Our World in Data*.  
<https://ourworldindata.org/internet>. Zugriff am 17.02.2023.
- Salinger, N. (2021). Introduction to Continuous Profiling.  
<https://granulate.io/blog/introduction-to-continuous-profiling/>. Zugriff am 11.05.2023.
- Savic, D., da Silva, A. R., Vljajic, S., Lazarevic, S., Stanojevic, V., Antovic, I., and Milic, M. (2012). Use case specification at different levels of abstraction. In *2012 Eighth International Conference on the Quality of Information and Communications Technology*, pages 187–192.  
<https://doi.org/10.1109/QUATIC.2012.64>. Zugriff am 12.03.2023.
- Selvaganesh, M., Karthi, P., Kumar, V. A. N., and Moorthy, S. R. P. (2022). Efficient brute-force handling methodology using indexed-cluster architecture of splunk. In *2022 International Conference on Electronics and Renewable Systems (ICEARS)*, pages 697–701.  
<https://doi.org/10.1109/ICEARS53579.2022.9752323>. Zugriff am 12.03.2023.
- Setter, M. (2015). Logfmt: A Log Format That’s Easy To Read and Write.  
<https://www.cloudbees.com/blog/logfmt-a-log-format-thats-easy-to-read-and-write>. Zugriff am 10.04.2023.
- silicon.de (2022). Das beliebteste deutsche Passwort 2022 lautet: 123456.  
<https://www.silicon.de/41703603/das-beliebteste-deutsche-passwort-2022-lautet-123456>. Zugriff am 02.04.2023.
- Sowmya, G. V., Jamuna, D., and Reddy, M. V. K. (2012). Blocking of Brute Force Attack. *International journal of engineering research and technology*, 1.
- Splunk (2015a). Splunk Enterprise Security.  
[https://www.splunk.com/en\\_us/products/enterprise-security.html](https://www.splunk.com/en_us/products/enterprise-security.html). Zugriff am 12.03.2023.
- Splunk (2015b). The splunk platform enables end-to-end visibility from edge to cloud.  
[https://www.splunk.com/en\\_us/products/splunk-enterprise.html](https://www.splunk.com/en_us/products/splunk-enterprise.html). Zugriff am 03.05.2023.
- Splunk (2022a). Use Cases.

- <https://docs.splunk.com/Documentation/ES/7.1.0/Usecases/Overview>. Zugriff am 12.03.2023.
- Splunk (2022b). What Is Security Information and Event Management (SIEM)? [https://www.splunk.com/en\\_us/data-insider/what-is-siem.html](https://www.splunk.com/en_us/data-insider/what-is-siem.html). Zugriff am 12.03.2023.
- Su, T.-J., Wang, S.-M., Chen, Y.-F., and Liu, C.-L. (2016). Attack detection of distributed denial of service based on splunk. In *2016 International Conference on Advanced Materials for Science and Engineering (ICAMSE)*, pages 397–400. <https://doi.org/10.1109/ICAMSE.2016.7840355>. Zugriff am 12.03.2023.
- Swathi, K. (2022). Brute Force Attack on Real World Passwords. *International Journal of Research Publication and Reviews*, 3(11):552–558. <https://www.ijrpr.com/archive.php?volume=3&issue=11>. Zugriff am 26.02.2023.
- Tanenbaum, A. S. (2009). *Moderne Betriebssysteme*. Pearson, München.
- Tanenbaum, A. S. and Wetherall, D. (2011). *Computer Networks*. Prentice Hall, München, 5 edition.
- techopedia (2015). Security Event Management. <https://www.techopedia.com/definition/25763/security-event-management>. Zugriff am 03.03.2023.
- techopedia (2022). Security Information Management (SIM). <https://www.techopedia.com/definition/25763/security-event-management>. Zugriff am 03.03.2023.
- tutorialspoint (2009). HTTP - Methods. [https://www.tutorialspoint.com/http/http\\_methods.htm](https://www.tutorialspoint.com/http/http_methods.htm). Zugriff am 17.04.2023.
- Ubuntu (2023a). Get Ubuntu Server. <https://ubuntu.com/download/server>. Zugriff am 31.03.2023.
- Ubuntu (2023b). Ubuntu. <https://ubuntu.com/>. Zugriff am 31.03.2023.
- U.S. Department of Health & Human Services (2016). The HIPAA Privacy Rule. <https://www.hhs.gov/hipaa/for-professionals/privacy/index.html>. Zugriff am 04.03.2023.
- Vault, A. (2019). AlienVault USM Anywhere. <https://www.unifiedthreatworks.com/datasheets/DS-USM-Anywhere.pdf>. Zugriff am 10.05.2023.
- Veeramachaneni, G. (2018). Loki: Prometheus-inspired, open source logging for cloud natives. <https://grafana.com/blog/2018/12/12/loki-prometheus-inspired-open-source-logging-for-cloud-natives/>. Zugriff am 24.05.2023.
- Vielberth, M. (2021). *Encyclopedia of Cryptography, Security and Privacy*, chapter Security Operations Center (SOC), pages 1–3. Springer Berlin Heidelberg.

- [http://dx.doi.org/10.1007/978-3-642-27739-9\\_1680-1](http://dx.doi.org/10.1007/978-3-642-27739-9_1680-1). Zugriff am 04.03.2023.
- VoidQuark (2022). Parsing SSH Logs with Grafana Loki.  
<https://voidquark.com/parsing-ssh-logs-with-grafana-loki/>. Zugriff am 10.04.2023.
- Wang, Y.-T., Yang, C.-T., Kristiani, E., and Chan, Y.-W. (2019). The implementation of wi-fi log analysis system with elk stack. In *Frontier Computing*, pages 246–255, Singapore. Springer Singapore.  
[https://link.springer.com/chapter/10.1007/978-981-13-3648-5\\_28](https://link.springer.com/chapter/10.1007/978-981-13-3648-5_28). Zugriff am 07.03.2023.
- Welch, E. (2020). The concise guide to labels in loki.  
<https://grafana.com/blog/2020/08/27/the-concise-guide-to-labels-in-loki/>. Zugriff am 19.05.2023.
- Wendzel, S. (2018). *IT-Sicherheit für TCP/IP- und IoT-Netzwerke*. Springer Vieweg, Wiesbaden.
- Yigal, A. (2013). Grafana vs. Kibana: The Key Differences to Know.  
<https://logz.io/blog/grafana-vs-kibana/>. Zugriff am 18.05.2023.
- Ödegaard, T. (2019). The (Mostly) Complete History of Grafana UX.  
<https://grafana.com/blog/2019/09/03/the-mostly-complete-history-of-grafana-ux/>. Zugriff am 13.03.2023.
- Łukasz Korzeniowski and Goczyla, K. (2022). Landscape of automated log analysis: A systematic literature review and mapping study. *IEEE Access*, 10:21892–21913.  
<https://doi.org/10.1109/ACCESS.2022.3152549>. Zugriff am 12.03.2023.

## A. Originale Einstellungsdateien

Unten befindet sich die originale Konfigurationsdateien (Grafana Labs, 2020b):

- **Loki:** Speicherung, Verarbeitung und Abfrage des Inhalts der Logdateien

```
auth_enabled: false
server:
  http_listen_port: 3100
  grpc_listen_port: 9096
common:
  instance_addr: 127.0.0.1
  path_prefix: /tmp/loki
  storage:
    filesystem:
      chunks_directory: /tmp/loki/chunks
      rules_directory: /tmp/loki/rules
  replication_factor: 1
  ring:
    kvstore:
      store: inmemory
query_range:
  results_cache:
    cache:
      embedded_cache:
        enabled: true
        max_size_mb: 100
schema_config:
  configs:
    - from: 2020-10-24
      store: boltdb-shipper
      object_store: filesystem
      schema: v11
      index:
        prefix: index_
        period: 24h
ruler:
  alertmanager_url: http://localhost:9093
```

- **Promtail:** Sammlung, Hinzufügen von „labels“ und Weiterleitung an Loki des Inhalts der Logdateien,

```
server:
  http_listen_port: 9080
  grpc_listen_port: 0
positions:
  filename: /tmp/positions.yaml
clients:
  - url: http://loki:3100/loki/api/v1/push
scrape_configs:
- job_name: system
  static_configs:
  - targets:
    - localhost
    labels:
      job: varlogs
      __path__: /var/log/*log
```



## B. Angepasste Einstellungsdateien von Grafana

Unten befindet sich die angepasste Konfigurationsdateien (Polinowski, 2019):

- Loki

```
auth_enabled: false
server:
  http_listen_port: 3100
  grpc_listen_port: 9096
ingester:
  wal:
    enabled: true
    dir: /tmp/wal
  config:
    max_block_size: 67108864
    max_uncompressed_block_size: 67108864
    chunk_size: 1048576
  lifecycler:
    address: 127.0.0.1
    ring:
      kvstore:
        store: inmemory
      replication_factor: 1
    final_sleep: 0s
  chunk_idle_period: 1h
  # Any chunk not receiving new logs in this time will be flushed
  max_chunk_age: 1h
  # All chunks will be flushed when they hit this age, default is 1h
  chunk_target_size: 1048576
  # Loki will attempt to build chunks up to 1.5MB, flushing first if
  # chunk_idle_period or max_chunk_age is reached first
  chunk_retain_period: 30s
  # Must be greater than index read cache TTL if using an index cache
  # (Default index read cache TTL is 5m)
  max_transfer_retries: 0
  # Chunk transfers disabled

schema_config:
  configs:
    - from: 2020-10-24
      store: boltdb-shipper
      object_store: filesystem
      schema: v11
      index:
        prefix: index_
        period: 24h

storage_config:
  boltdb_shipper:
    active_index_directory: /tmp/loki/boltdb-shipper-active
    cache_location: /tmp/loki/boltdb-shipper-cache
    cache_ttl: 24h
    # Can be increased for faster performance over longer query
    # periods, uses more disk space
    shared_store: filesystem
  filesystem:
    directory: /tmp/loki/chunks

compactor:
  working_directory: /tmp/loki/boltdb-shipper-compactor
```

```

shared_store: filesystem

limits_config:
  reject_old_samples: true
  reject_old_samples_max_age: 168h
  ingestion_rate_mb: 1024
  ingestion_burst_size_mb: 1024
  ingestion_rate_strategy: local
  per_stream_rate_limit: 12MB
  max_query_series: 100000
  max_query_parallelism: 32
  split_queries_by_interval: 24h
  max_query_length: 0h

querier:
  max_concurrent: 2048

frontend:
  compress_responses: true
  scheduler_worker_concurrency: 20

query_range:
  parallelise_shardable_queries: false

table_manager:
  retention_deletes_enabled: false
  retention_period: 360s

ruler:
  storage:
    type: local
    local:
      directory: /tmp/loki/rules
  rule_path: /loki/rules-temp
  alertmanager_url: http://localhost:9093
  ring:
    kvstore:
      store: inmemory
  enable_api: true

```

## • Promtail

```

---
server:
  http_listen_port: 9080
  grpc_listen_port: 0

positions:
  filename: /tmp/positions.yaml

clients:
  - url: http://loki:3100/loki/api/v1/push
    tenant_id: tenant1

scrape_configs:
  - job_name: sshlogs
    pipeline_stages:
      - match:
          selector: '{job="sshlogs"}'
          action: keep
          stages:
            - regex:
                expression: '^((?P<time>[A-Za-z]{3}\s{1,2}\d{1,2}\s\d{2}:\d{2}:\d{2})*)'
            - timestamp:

```

```
        source: time
        format: RFC822Z #"Jan _2 15:04:05"
        location: "Europe/Berlin"
decompression:
  enabled: true
  initial_delay: 15s
  format: gz
static_configs:
- targets:
  - loki
  labels:
    job: sshlogs
    #env: voidquart
    instance: Opfersystem1
    __path__: /opt/*.gz
```

- Docker Compose Datei

```
version: "3"

networks:
  loki:

services:
  loki:
    image: grafana/loki:2.4.1
    volumes:
      - ${PWD}/loki-config.yaml:/etc/loki/loki-config.yaml
    ports:
      - "3100:3100"
    command: -config.file=/etc/loki/local-config.yaml
    networks:
      - loki

  promtail:
    image: grafana/promtail:2.8.2
    container_name: Opfersystem1
    volumes:
      - ${PWD}/promtail-local-config_opfer1.yaml:/etc/promtail/promtail-config.yaml
      - ${PWD}/temp/:/opt/
    command: -config.file=/etc/promtail/promtail-config.yaml
      -config.expand-env=true
      #-querier.max-outstanding-requests-per-tenant= 2048
    networks:
      - loki

  grafana:
    image: grafana/grafana:latest
    ports:
      - "3000:3000"
    networks:
      - loki
```

## C. Angepasste Einstellungsdateien von Grafana

Unten befindet sich unser Regel für die Generierung von Warnmeldungen in Fälle eines Brute-Force Angriffes gegen SSH Server.

```
apiVersion: 1
groups:
- orgId: 1
  name: sshTeam
  folder: sshlogs
  interval: 1m
  rules:
  - uid: 1HYZTLPVz
    title: Bruteforce Attempt againsts SSH-Server
    condition: C
    data:
    - refId: A
      queryType: range
      relativeTimeRange:
        from: 600
        to: 0
      datasourceUid: sx2e5YE4k
      model:
        datasource:
          type: loki
          uid: sx2e5YE4k
        editorMode: code
        expr: 'sum by(username) (count_over_time({job=~"varlogs",
job=~".*", instance=~".*"} |= `sshd[\' |~ \': Invalid|:
Connection closed by authenticating user|: Failed .*
user\' != `test\' | pattern '<_> user <username> <_> port\'
| __error__=` [2400h]))'
        hide: false
        intervalMs: 1000
        maxDataPoints: 43200
        queryType: range
        refId: A
    - refId: B
      queryType: range
      relativeTimeRange:
        from: 600
        to: 0
      datasourceUid: sx2e5YE4k
      model:
        datasource:
          type: loki
          uid: sx2e5YE4k
        editorMode: code
        expr: 'sum by(username) (count_over_time({job=~"varlogs",
job=~".*", instance=~".*"} |= `sshd[\' |~ \': Failed\' !=
`invalid user\' != `test\' | pattern '<_> for <username>
from <_> port\' | __error__=` [2400h]))'
        hide: false
        intervalMs: 1000
        maxDataPoints: 43200
        queryType: range
        refId: B
    - refId: C
      datasourceUid: __expr__
      model:
        conditions:
        - evaluator:
```

```

        params:
          - 5
          - 0
        type: gt
      operator:
        type: and
      query:
        params:
          - A
      reducer:
        params: []
        type: count
      type: query
    - evaluator:
        params:
          - 5
          - 0
        type: gt
      operator:
        type: or
      query:
        params:
          - B
      reducer:
        params: []
        type: count
      type: query
    datasource:
      name: Expression
      type: __expr__
      uid: __expr__
      expression: ""
      intervalMs: 1000
      maxDataPoints: 43200
      refId: C
      type: classic_conditions
    noDataState: NoData
    execErrState: Error
    for: 5m
    annotations:
      description: We have several failed connections to our
        SSH-serves. This may be an attack.
      summary: Multiple failed connections to SSH-Server
    isPaused: false

```